

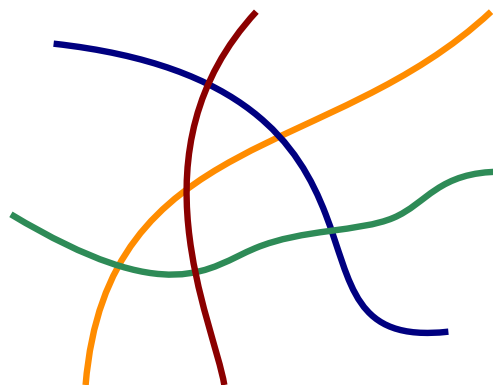
Berlin Mathematical School

**BMS**



DMV-Studierendenkonferenz 2023

# ERZEUGUNG ZUFÄLLIGER PSEUDOGERADENARRANGEMENTS



Sandro M. Roch

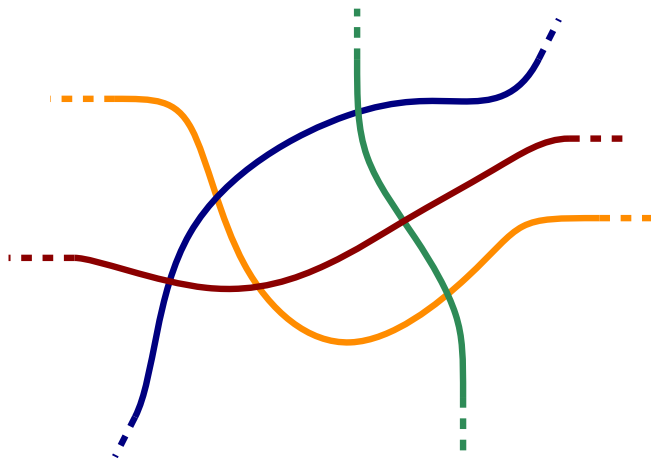
# Pseudogeradenarrangements

**Def:** *Pseudogeradenarrangement:*

- Stetige Kurven  $f_1, \dots, f_n : \mathbb{R} \rightarrow \mathbb{R}^2$  mit

$$\lim_{t \rightarrow \infty} \|f_i(t)\| = \lim_{t \rightarrow -\infty} \|f_i(t)\| = \infty$$

- Je zwei kreuzen sich in genau einem Punkt



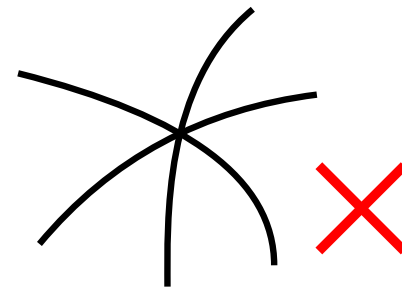
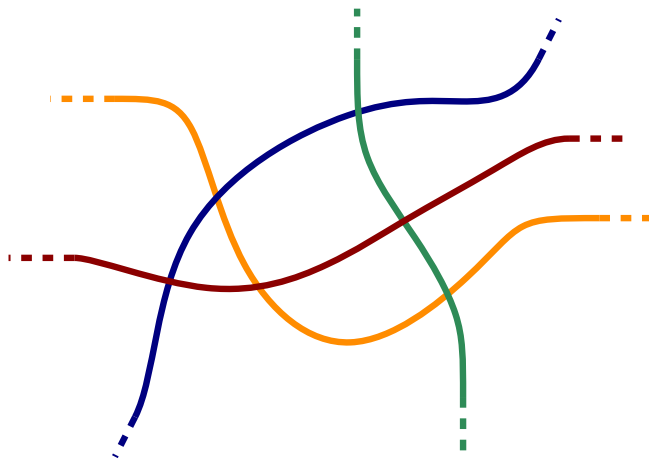
# Pseudogeradenarrangements

**Def:** *Pseudogeradenarrangement:*

- Stetige Kurven  $f_1, \dots, f_n : \mathbb{R} \rightarrow \mathbb{R}^2$  mit

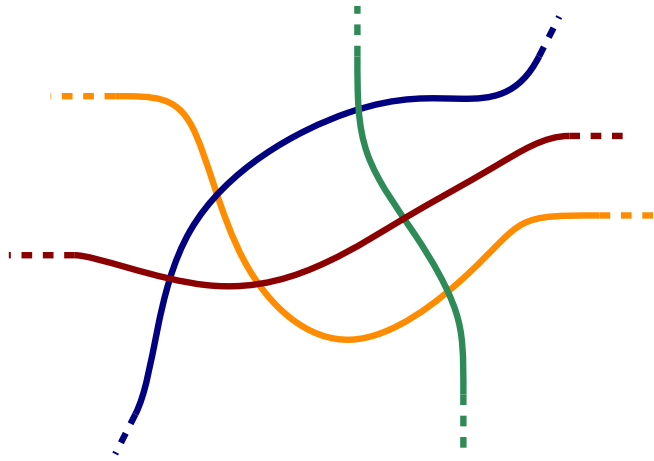
$$\lim_{t \rightarrow \infty} \|f_i(t)\| = \lim_{t \rightarrow -\infty} \|f_i(t)\| = \infty$$

- Je zwei kreuzen sich in genau einem Punkt
- Keine 3 Pseudogeraden, die sich in einem Punkt kreuzen

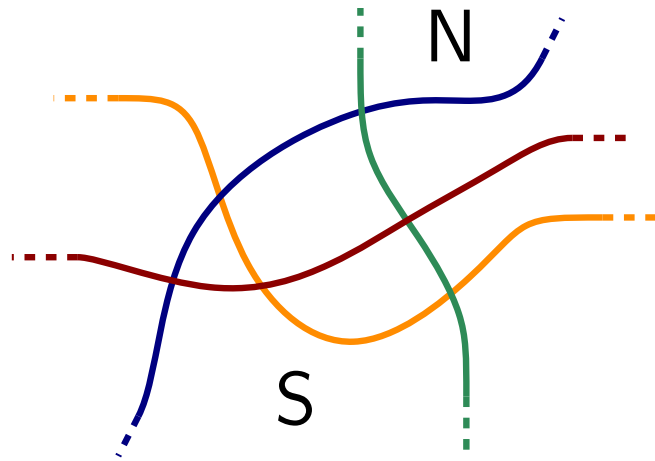


# Drahtdiagramme

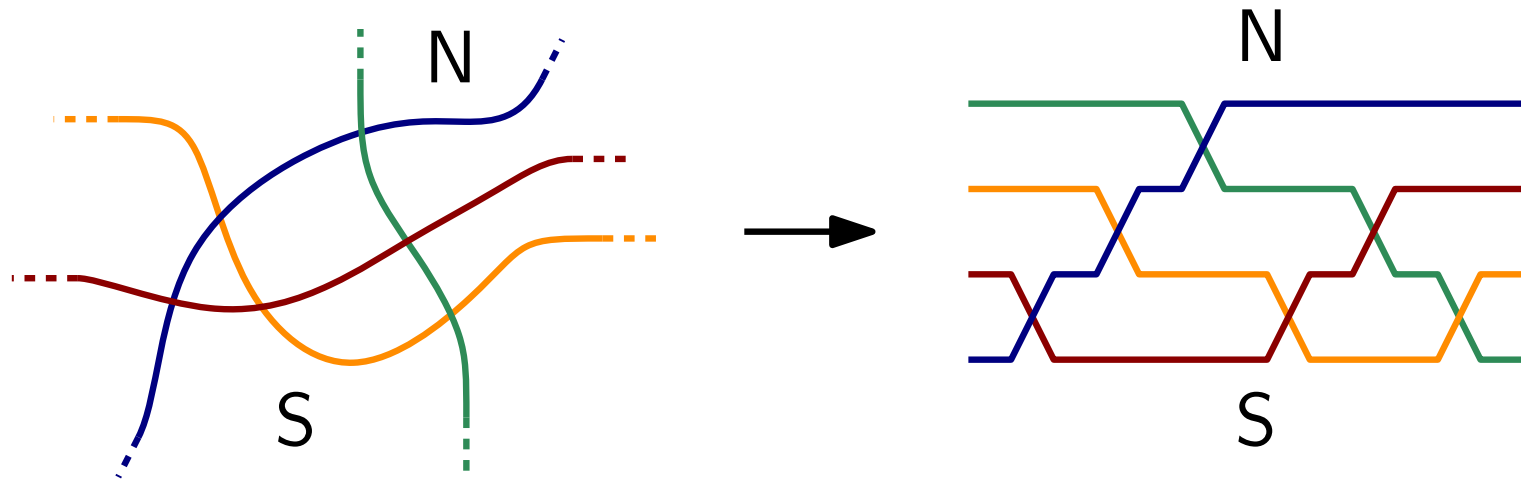
# Drahtdiagramme



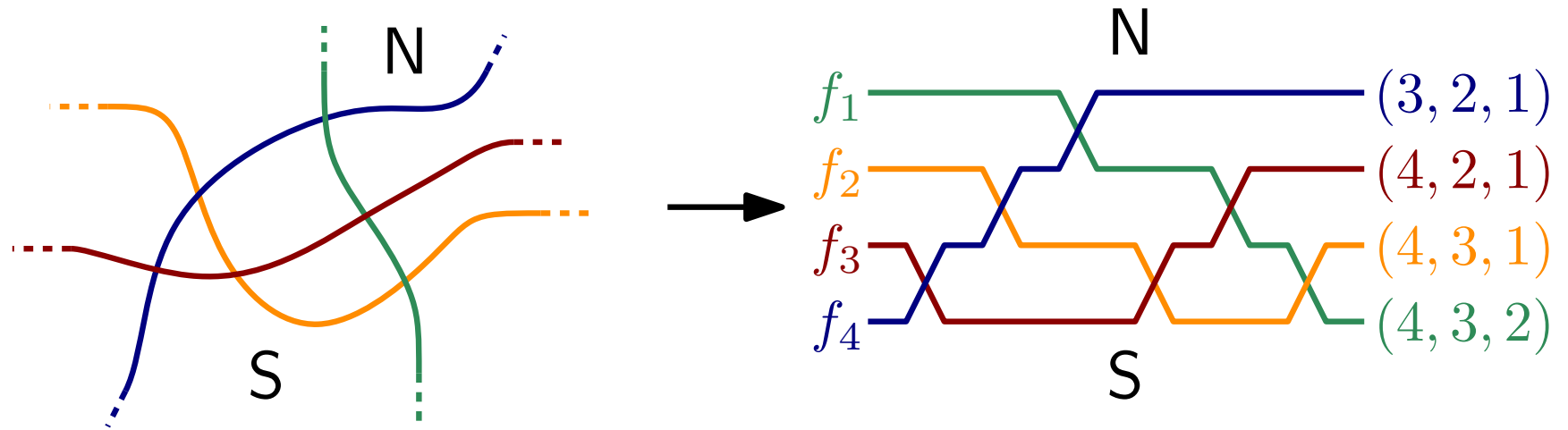
# Drahtdiagramme



# Drahtdiagramme



# Drahtdiagramme

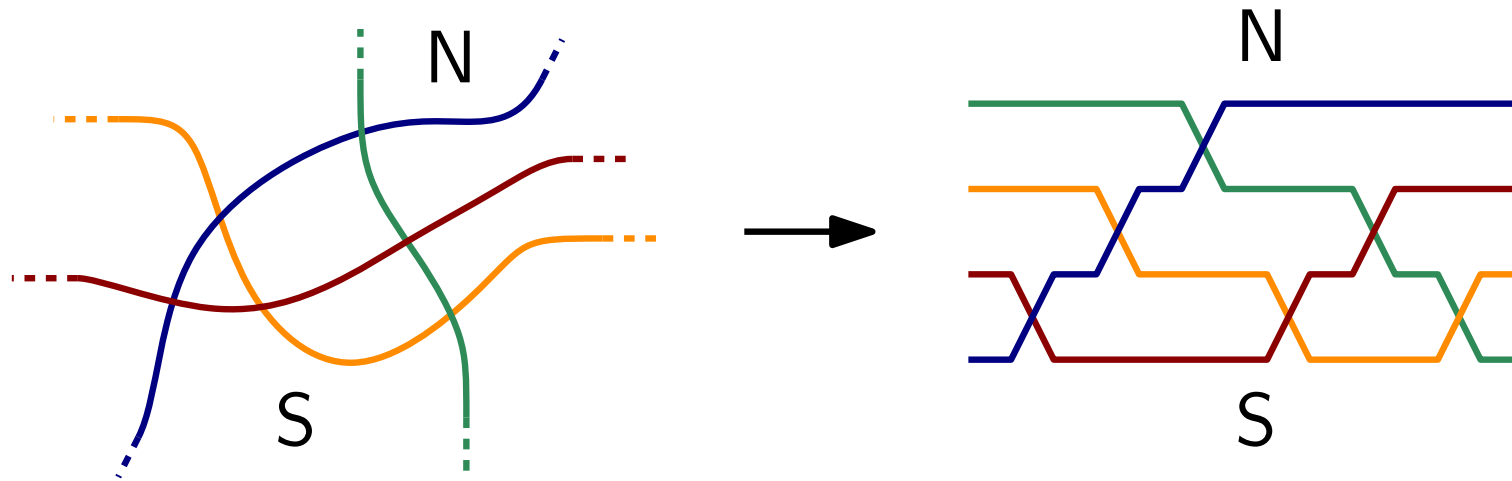


## Kodierung durch Permutationen:

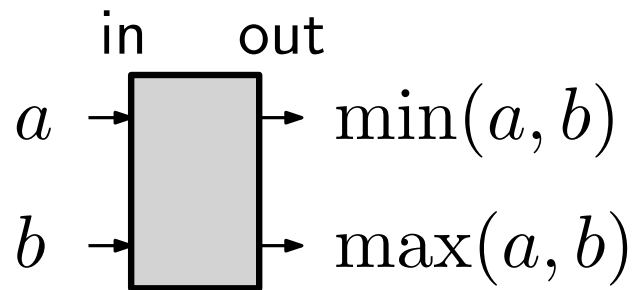
Permutation  $\pi_i \in S_{n-1}$  kodiert Schnittreihenfolge von  $f_i$ .



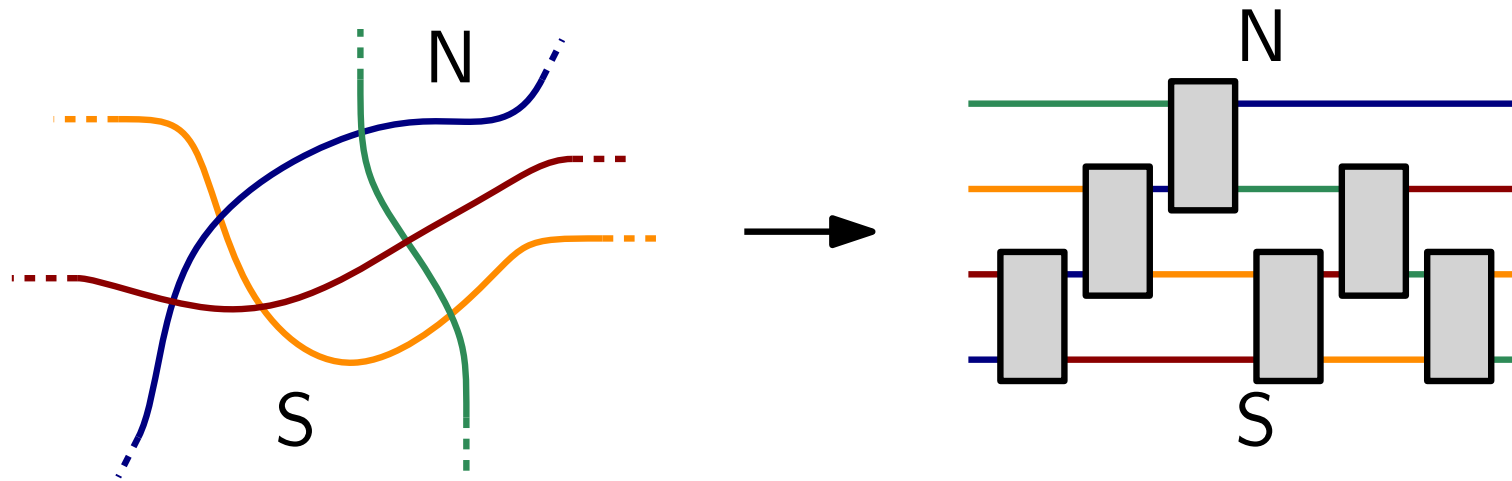
# Drahtdiagramme



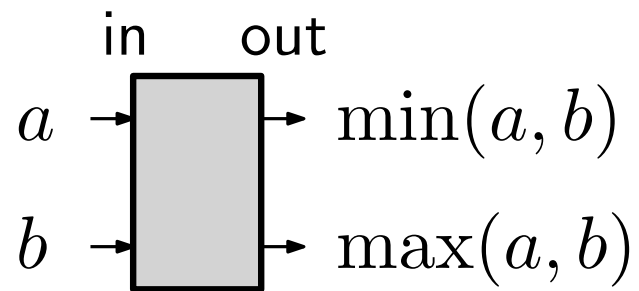
## Drahtdiagramme als Sortiernetze:



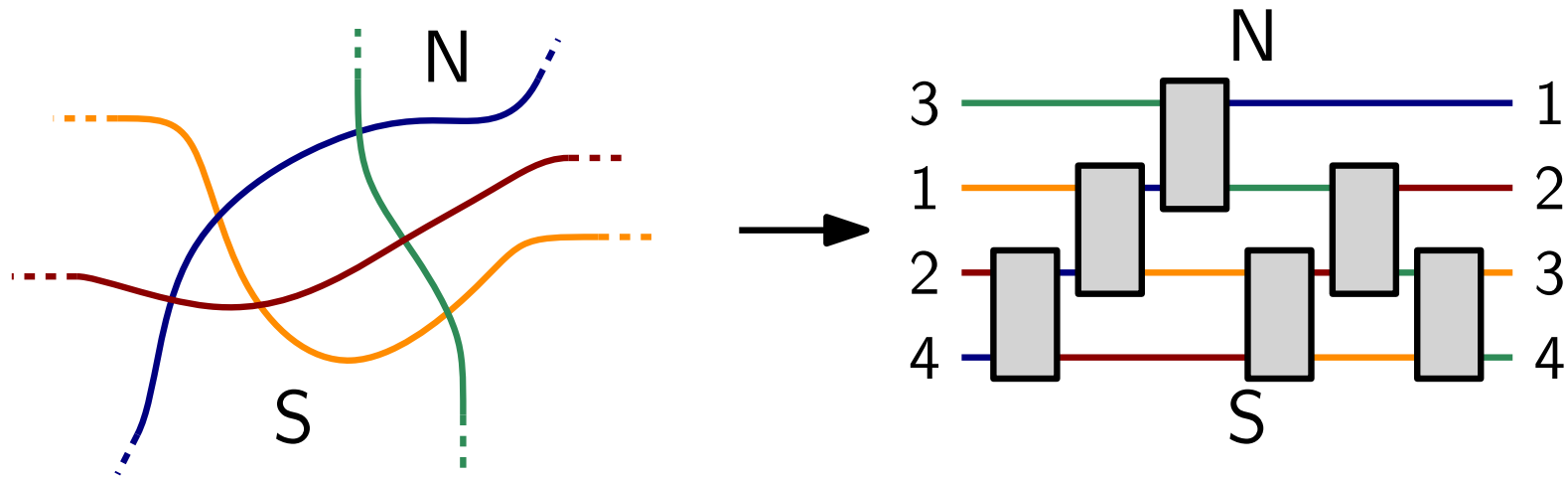
# Drahtdiagramme



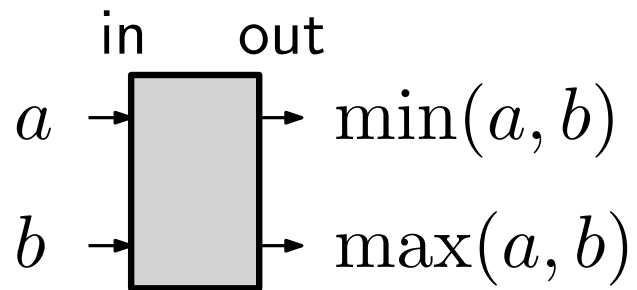
## Drahtdiagramme als Sortiernetze:



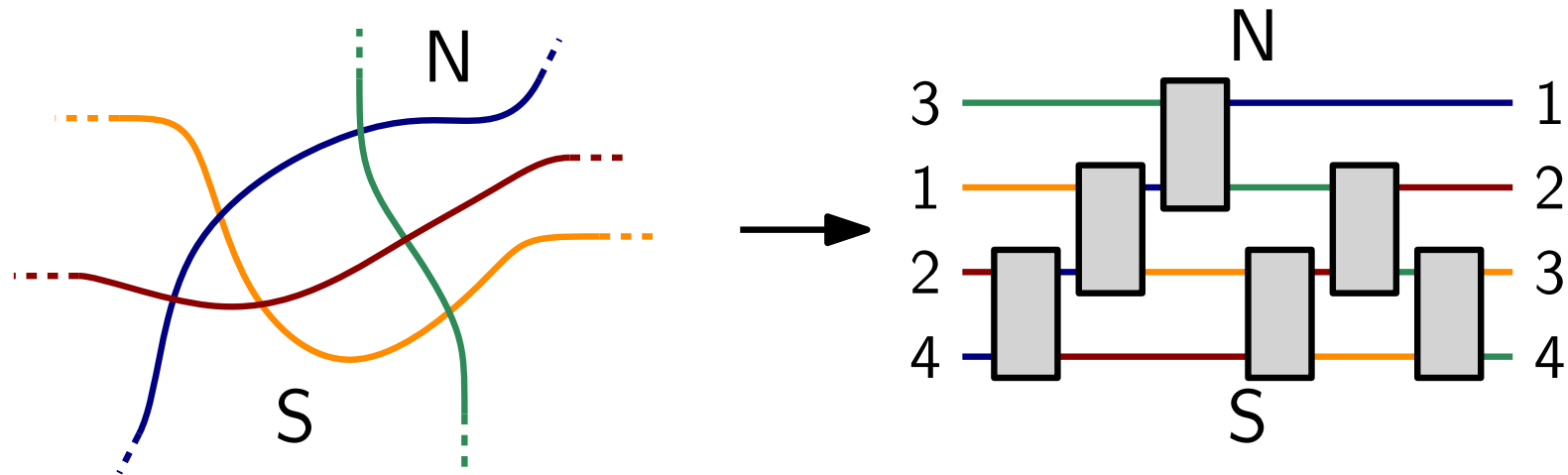
# Drahtdiagramme



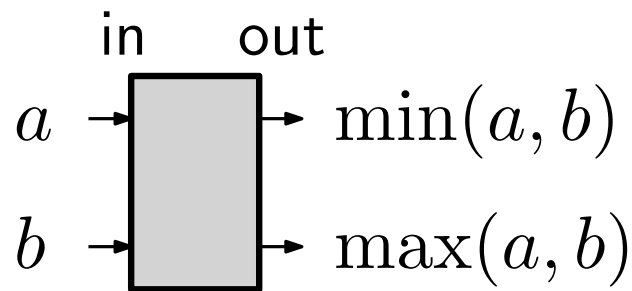
## Drahtdiagramme als Sortiernetze:



# Drahtdiagramme

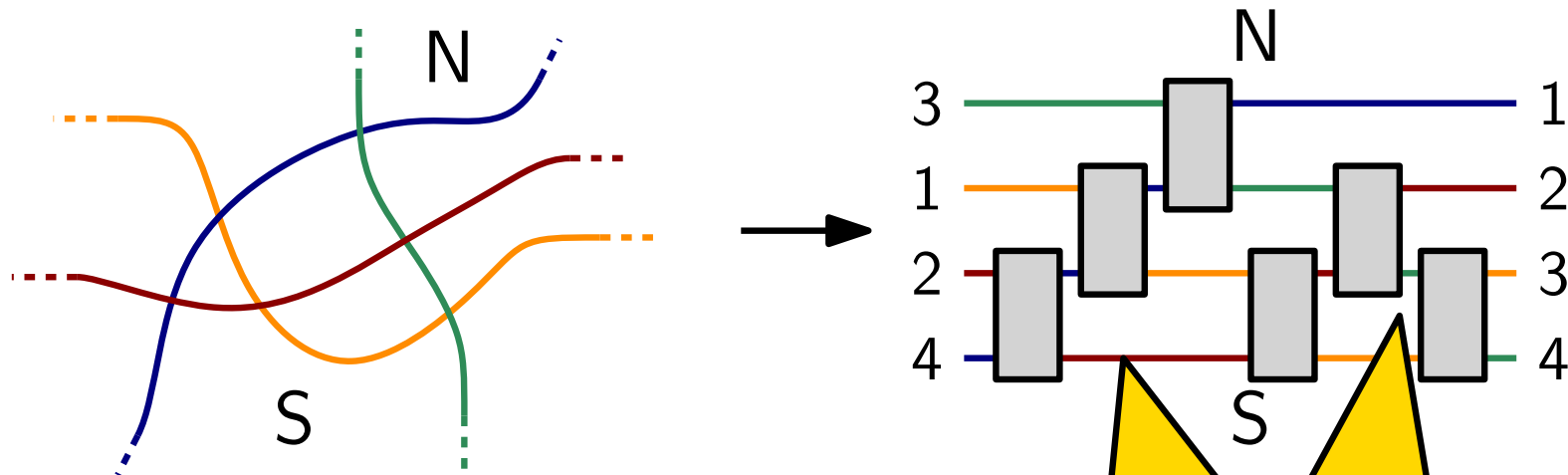


## Drahtdiagramme als Sortiernetze:

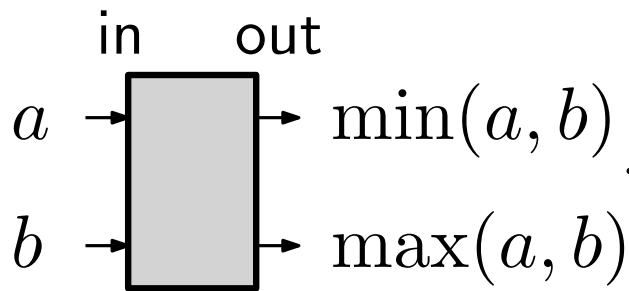


Sortiernetze kodieren minimale Sortieralgorithmen, die auf *Vergleich & Tausch* benachbarter Elemente basieren.

# Drahtdiagramme



## Drahtdiagramme als Sortiernetz

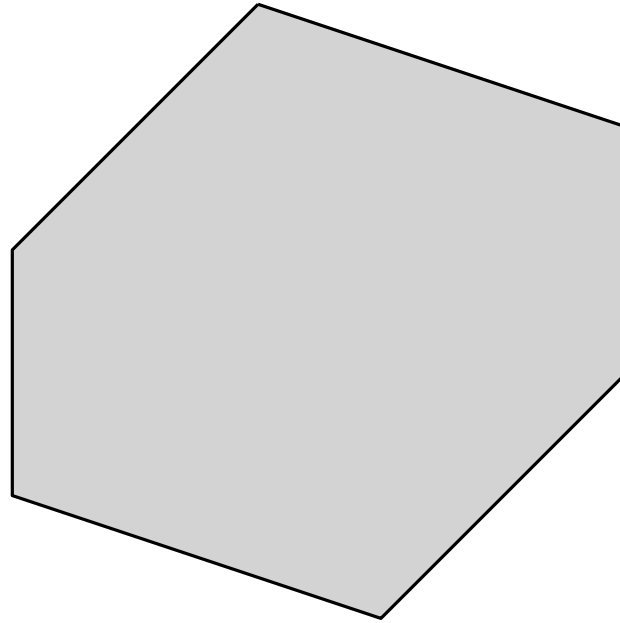


**Standard-Young-Tableaux !!!**

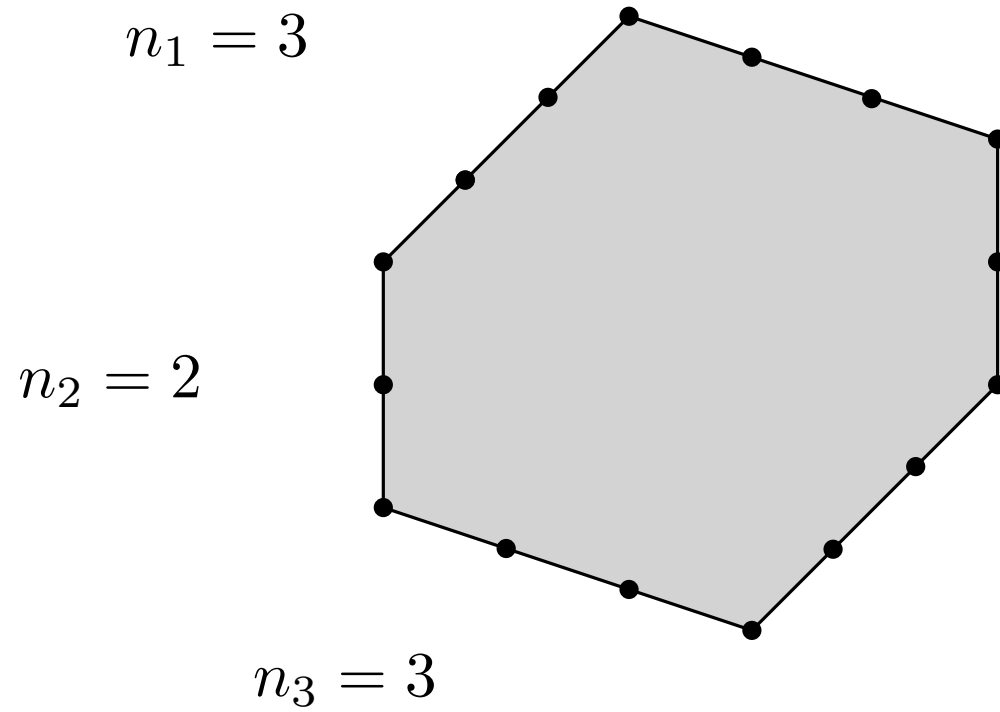
1	4	6
2	5	
3		

Sortiernetze kodieren minimale Sortierprogramme, die auf *Vergleich & Tausch* benachbarter Elemente basieren.

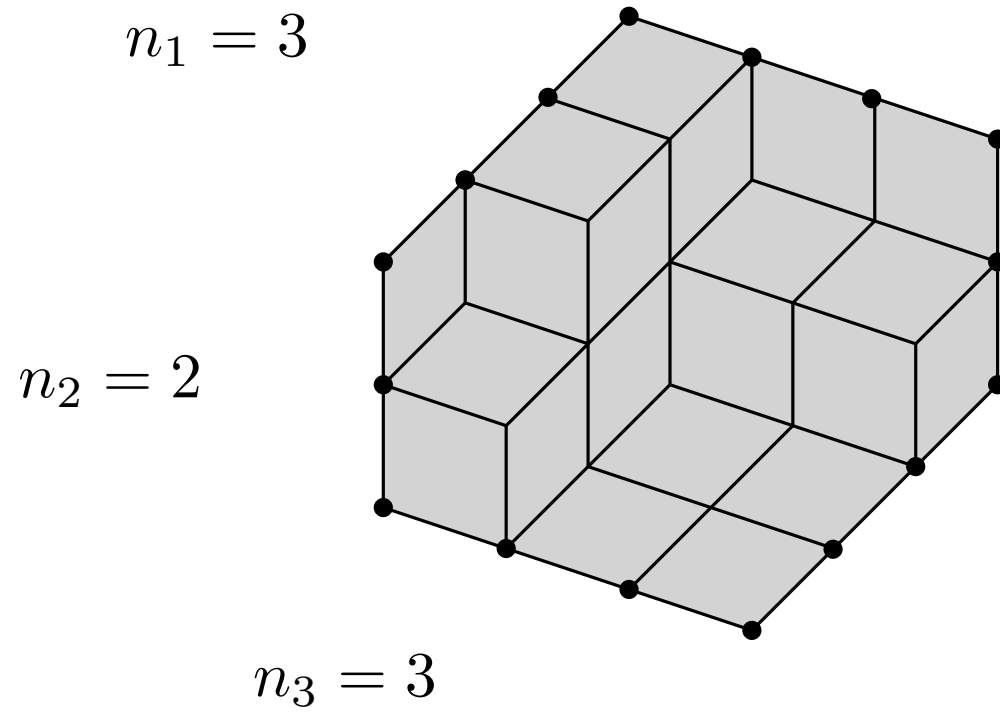
# Rhombenpflasterungen



# Rhombenpflasterungen

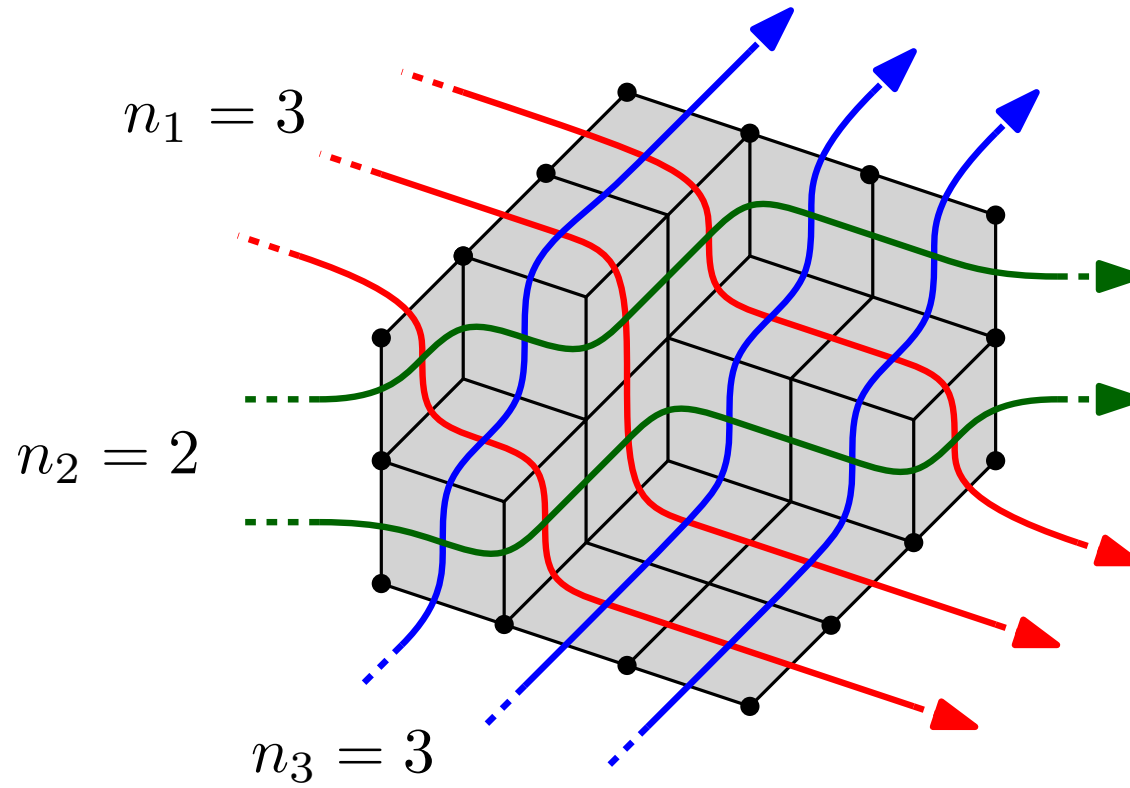


# Rhombenpflasterungen

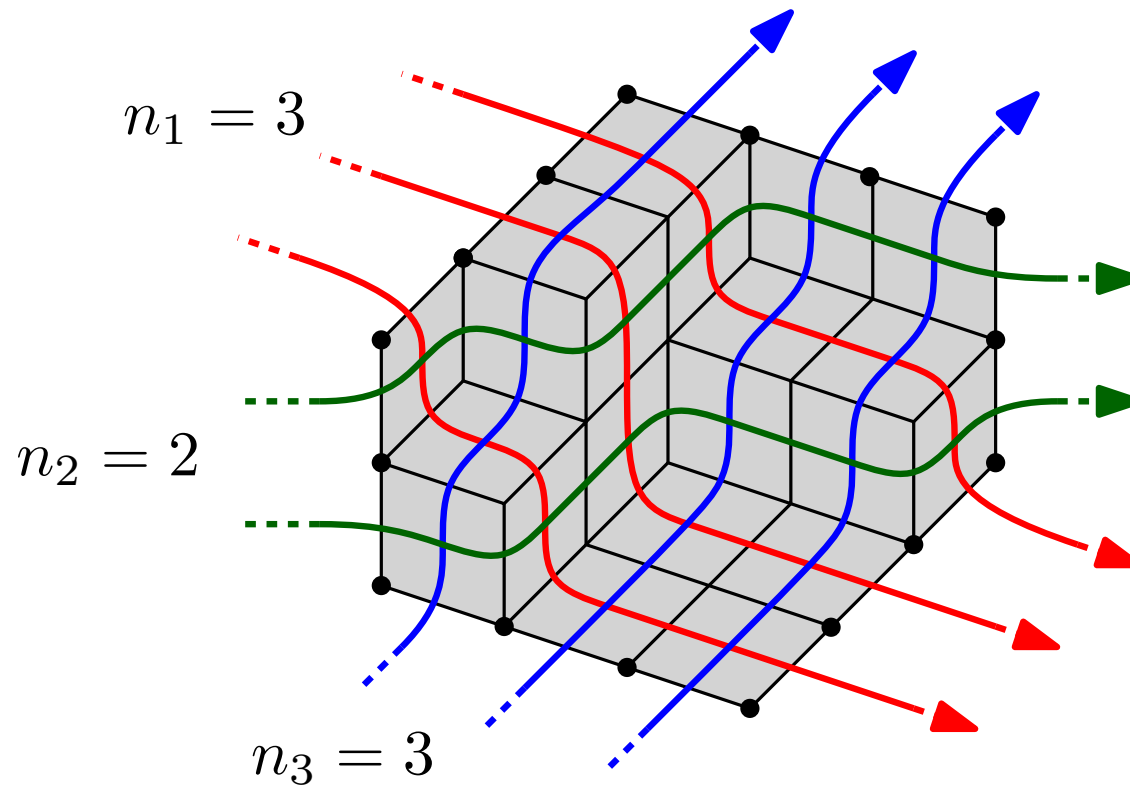




# Rhombenpflasterungen



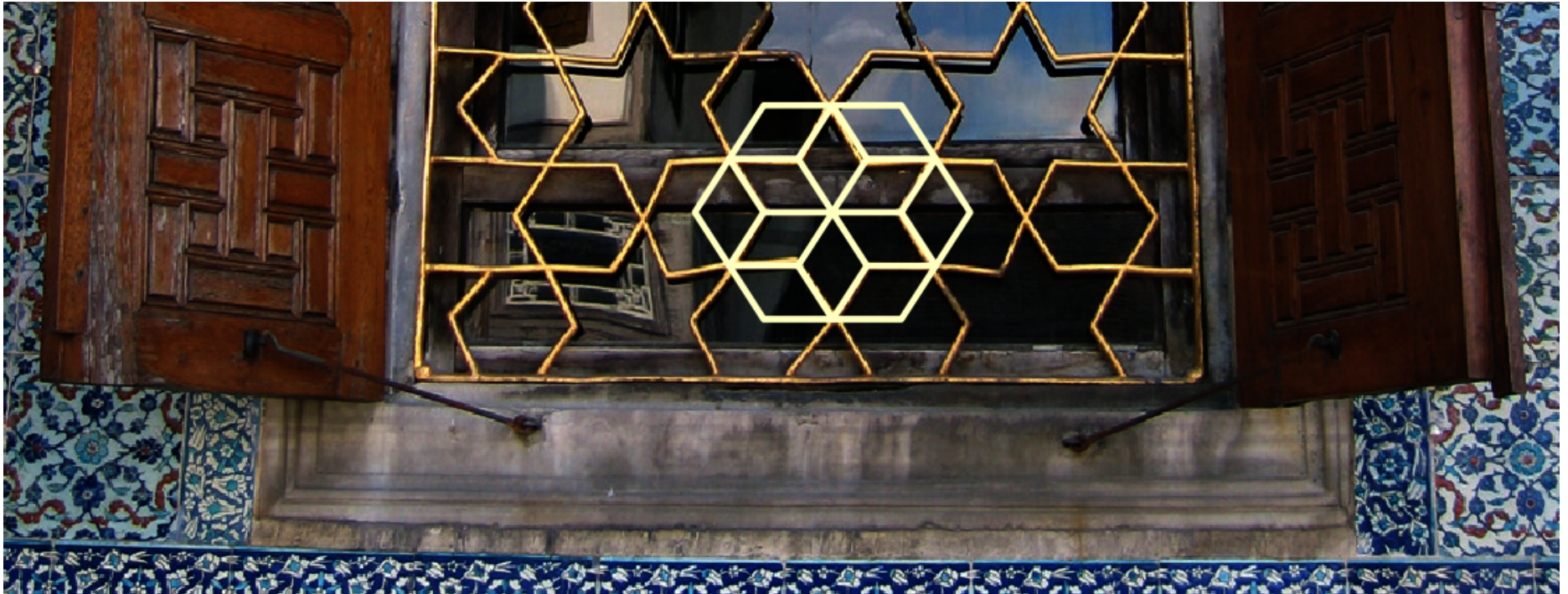
# Rhombenpflasterungen



Liefert *Verallgemeinertes Pseudogeradenarrangement*:

- *Parallelklassen* von  $n_1, \dots, n_r$  Pseudogeraden.
- (Nur) Pseudogeraden verschiedener Parallelklassen kreuzen sich.

# Rhombenpflasterungen



Topkapı-Palast, Istanbul, Türkei

# Pseudogeradenarrangements

Drahtdiagramme

Signotope

plane partitions

Permutationen

Rhomben-  
pflasterungen

Sortiernetze

Höhere Bruhat-  
Ordnung

Standard-Young-Tableaus

Systeme monotoner, sich  
nicht schneidender Pfade

Orientierte Matroide von Rang 3

# Pseudogeradenarrangements

Drahtdiagramme

Signotope

plane partitions

Permutationen

Rhomben-  
pflasterungen

## **Problem:**

Wie erzeugt man zufällige  
Pseudogeradenarrange-  
ments mit uniformer  
Verteilung effizient?

Sortiernetze

Höhere Bruhat-  
Ordnung

Standard-Young-Tableaus

Systeme monotoner, sich  
nicht schneidender Pfade

Orientierte Matroide von Rang 3

# Zufallserzeugung mittels Markov-Ketten

# Zufallserzeugung mittels Markov-Ketten

## **Idee:**

- Zufällige lokale Veränderungen in Arrangement

# Zufallserzeugung mittels Markov-Ketten

## Idee:

- Zufällige lokale Veränderungen in Arrangement
- Übergangswahrscheinlichkeiten symmetrisch  
⇒ Markov-Kette nähert sich der uniformen Verteilung



# Zufallserzeugung mittels Markov-Ketten

## Idee:

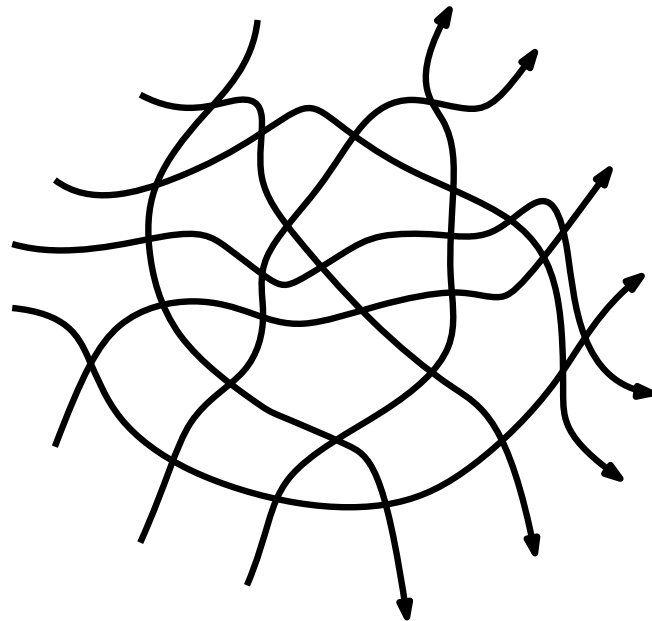
- Zufällige lokale Veränderungen in Arrangement
- Übergangswahrscheinlichkeiten symmetrisch  
     $\implies$  Markov-Kette nähert sich der uniformen Verteilung
- *Schnell-mischend*, falls Konvergenz polynomiell schnell

# Zufallserzeugung mittels Markov-Ketten

## Idee:

- Zufällige lokale Veränderungen in Arrangement
- Übergangswahrscheinlichkeiten symmetrisch  
     $\implies$  Markov-Kette nähert sich der uniformen Verteilung
- *Schnell-mischend*, falls Konvergenz polynomiell schnell

**Markov-Kette I:** Zufälliges Neueinfügen von Pseudogerade:

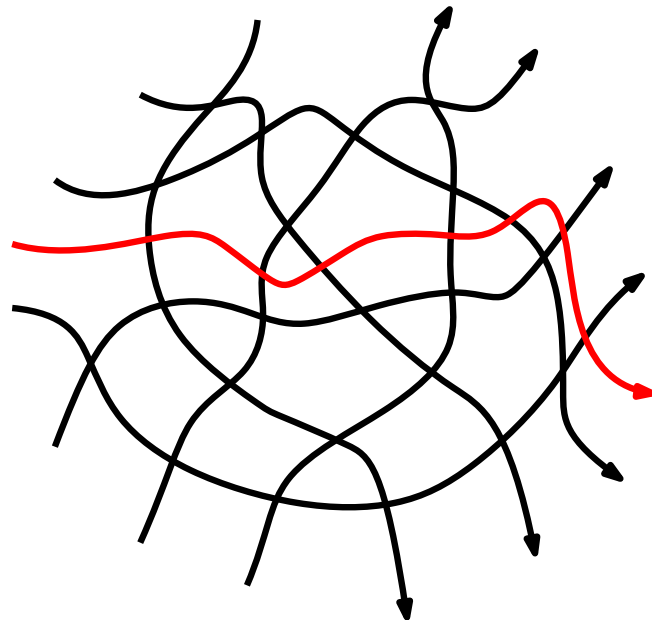


# Zufallserzeugung mittels Markov-Ketten

## Idee:

- Zufällige lokale Veränderungen in Arrangement
- Übergangswahrscheinlichkeiten symmetrisch  
     $\implies$  Markov-Kette nähert sich der uniformen Verteilung
- *Schnell-mischend*, falls Konvergenz polynomiell schnell

**Markov-Kette I:** Zufälliges Neueinfügen von Pseudogerade:

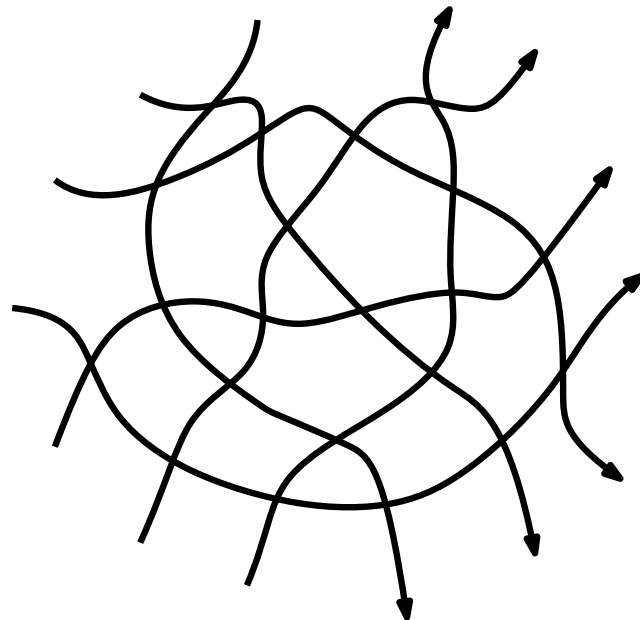


# Zufallserzeugung mittels Markov-Ketten

## Idee:

- Zufällige lokale Veränderungen in Arrangement
- Übergangswahrscheinlichkeiten symmetrisch  
     $\implies$  Markov-Kette nähert sich der uniformen Verteilung
- *Schnell-mischend*, falls Konvergenz polynomiell schnell

**Markov-Kette I:** Zufälliges Neueinfügen von Pseudogerade:

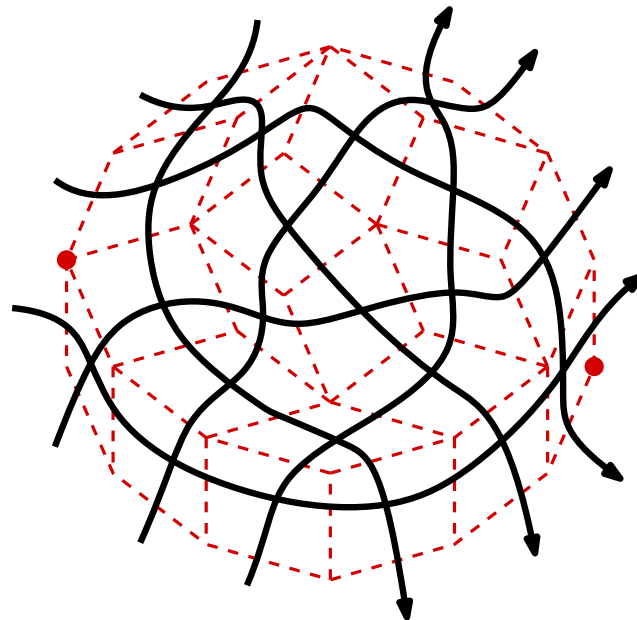


# Zufallserzeugung mittels Markov-Ketten

## Idee:

- Zufällige lokale Veränderungen in Arrangement
- Übergangswahrscheinlichkeiten symmetrisch  
     $\implies$  Markov-Kette nähert sich der uniformen Verteilung
- *Schnell-mischend*, falls Konvergenz polynomiell schnell

**Markov-Kette I:** Zufälliges Neueinfügen von Pseudogerade:

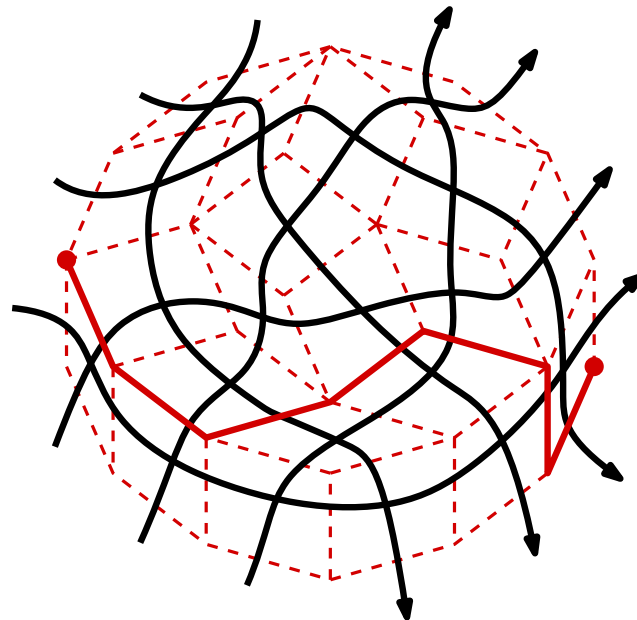


# Zufallserzeugung mittels Markov-Ketten

## Idee:

- Zufällige lokale Veränderungen in Arrangement
- Übergangswahrscheinlichkeiten symmetrisch  
⇒ Markov-Kette nähert sich der uniformen Verteilung
- *Schnell-mischend*, falls Konvergenz polynomiell schnell

**Markov-Kette I:** Zufälliges Neueinfügen von Pseudogerade:

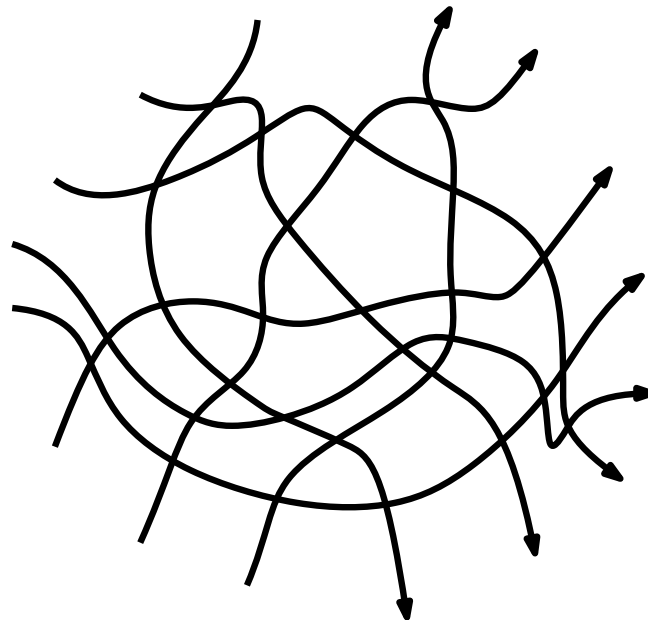


# Zufallserzeugung mittels Markov-Ketten

## Idee:

- Zufällige lokale Veränderungen in Arrangement
- Übergangswahrscheinlichkeiten symmetrisch  
     $\implies$  Markov-Kette nähert sich der uniformen Verteilung
- *Schnell-mischend*, falls Konvergenz polynomiell schnell

**Markov-Kette I:** Zufälliges Neueinfügen von Pseudogerade:

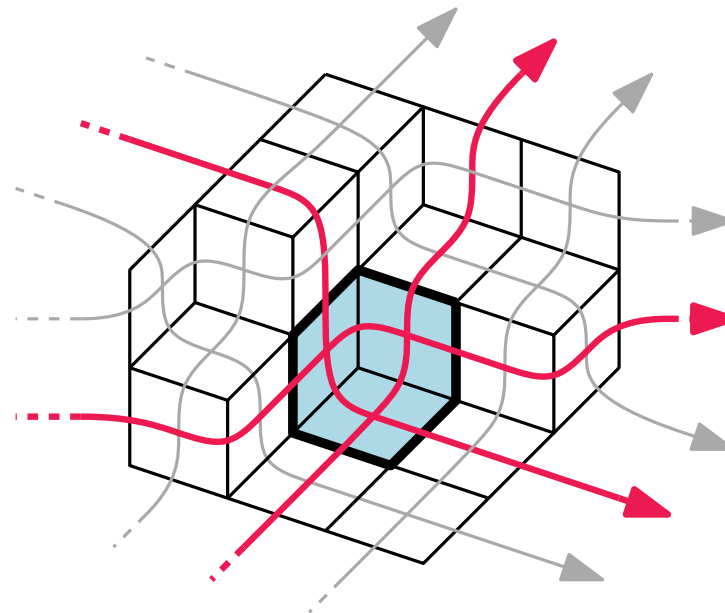


# Zufallserzeugung mittels Markov-Ketten

## Idee:

- Zufällige lokale Veränderungen in Arrangement
- Übergangswahrscheinlichkeiten symmetrisch  
⇒ Markov-Kette nähert sich der uniformen Verteilung
- *Schnell-mischend*, falls Konvergenz polynomiell schnell

## Markov-Kette II: Flip zufälliger Dreiecke:



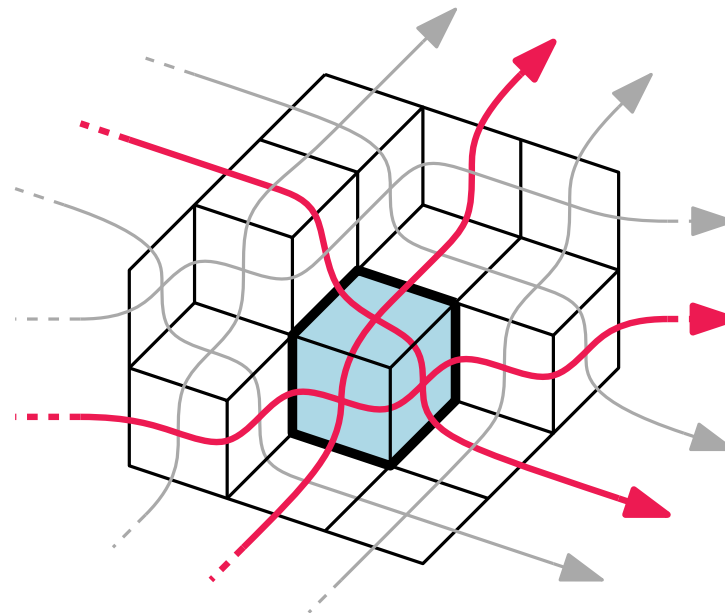


# Zufallserzeugung mittels Markov-Ketten

## Idee:

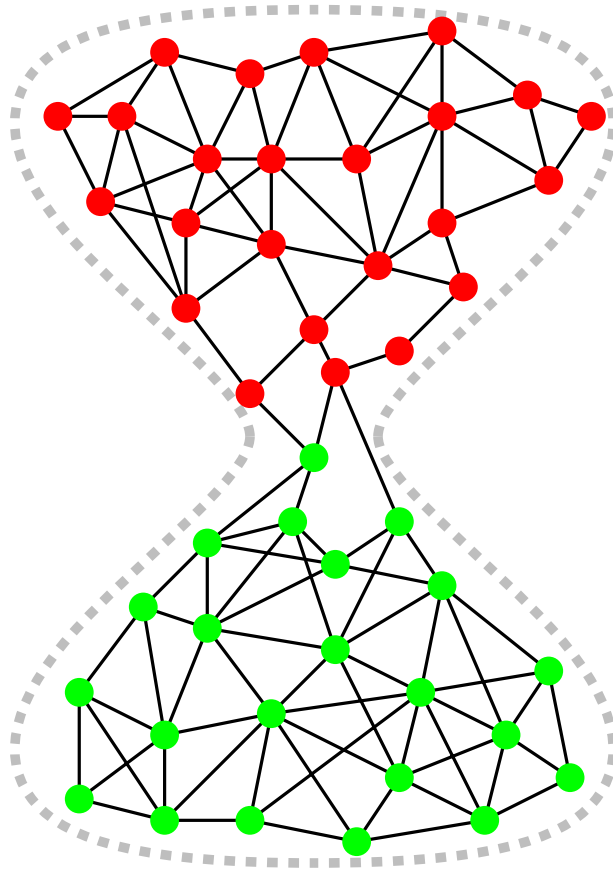
- Zufällige lokale Veränderungen in Arrangement
- Übergangswahrscheinlichkeiten symmetrisch  
⇒ Markov-Kette nähert sich der uniformen Verteilung
- *Schnell-mischend*, falls Konvergenz polynomiell schnell

## Markov-Kette II: Flip zufälliger Dreiecke:

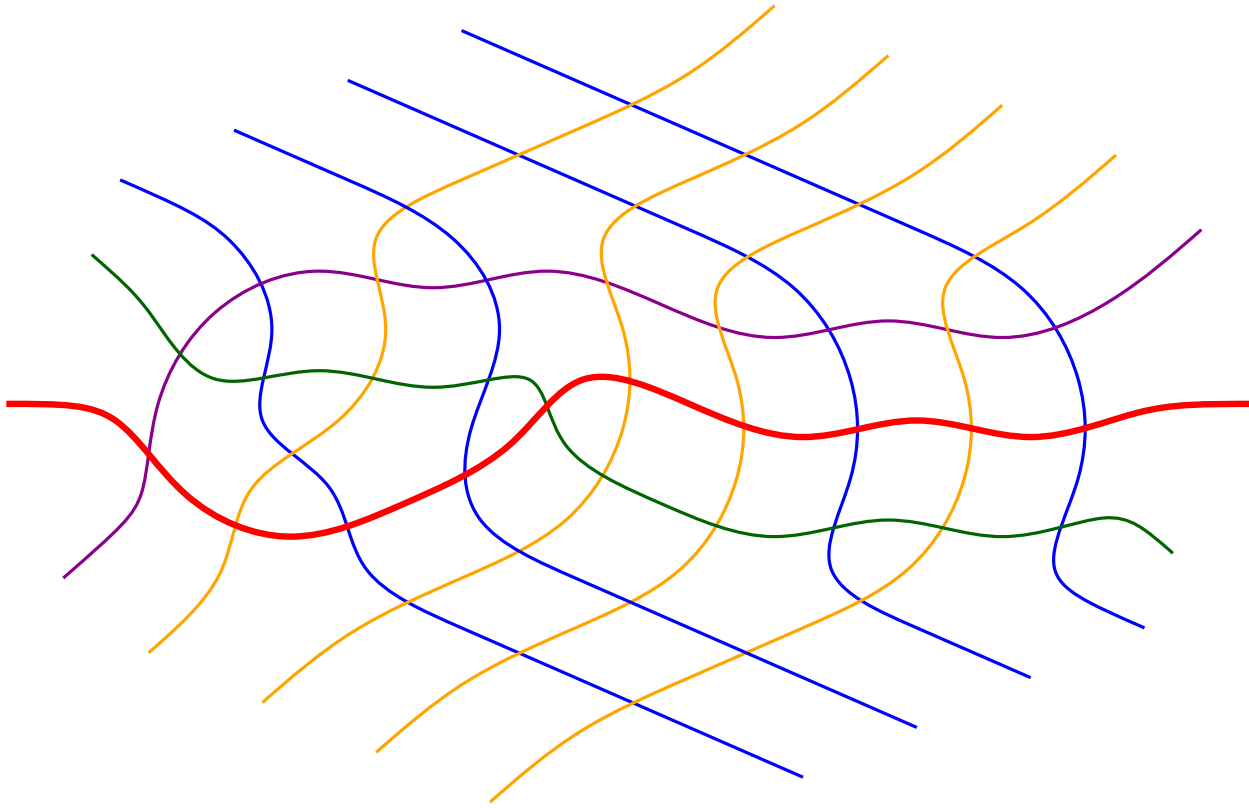


# Flaschenhals

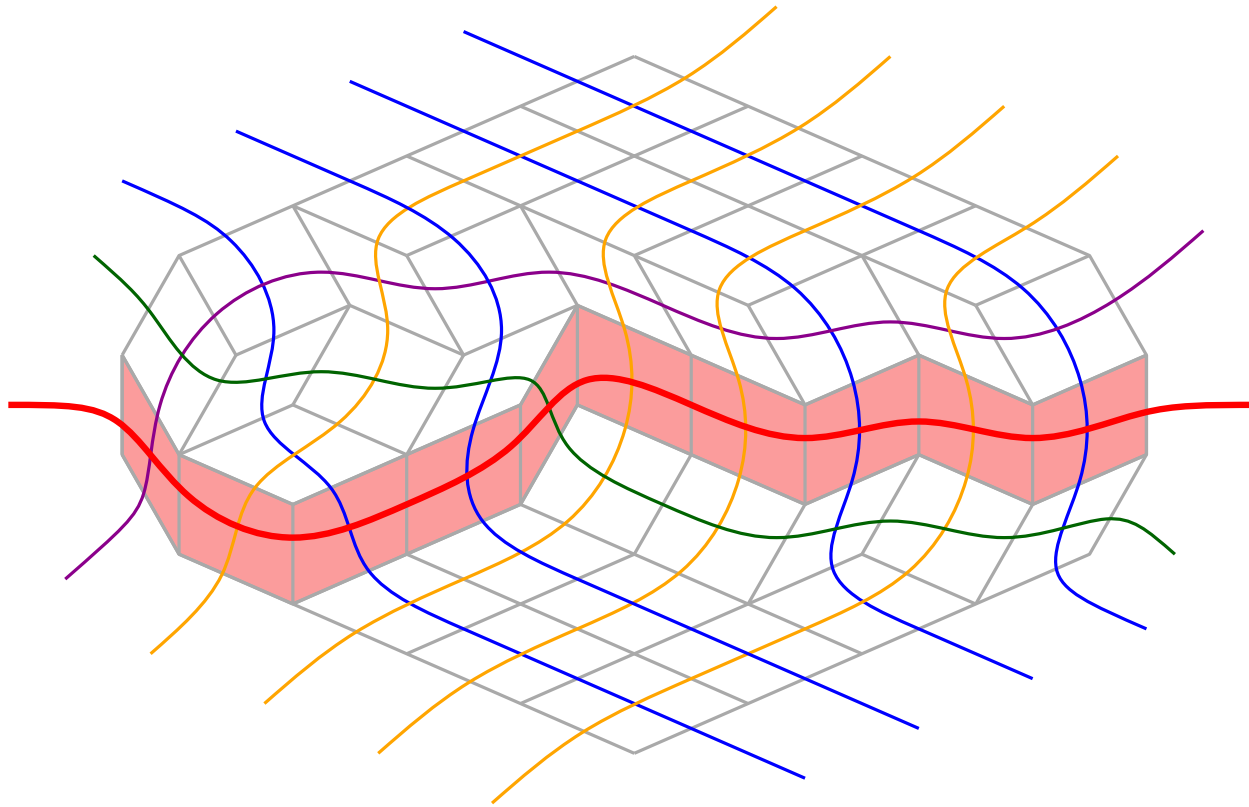
Markov-Kette mit „Flaschenhals“:



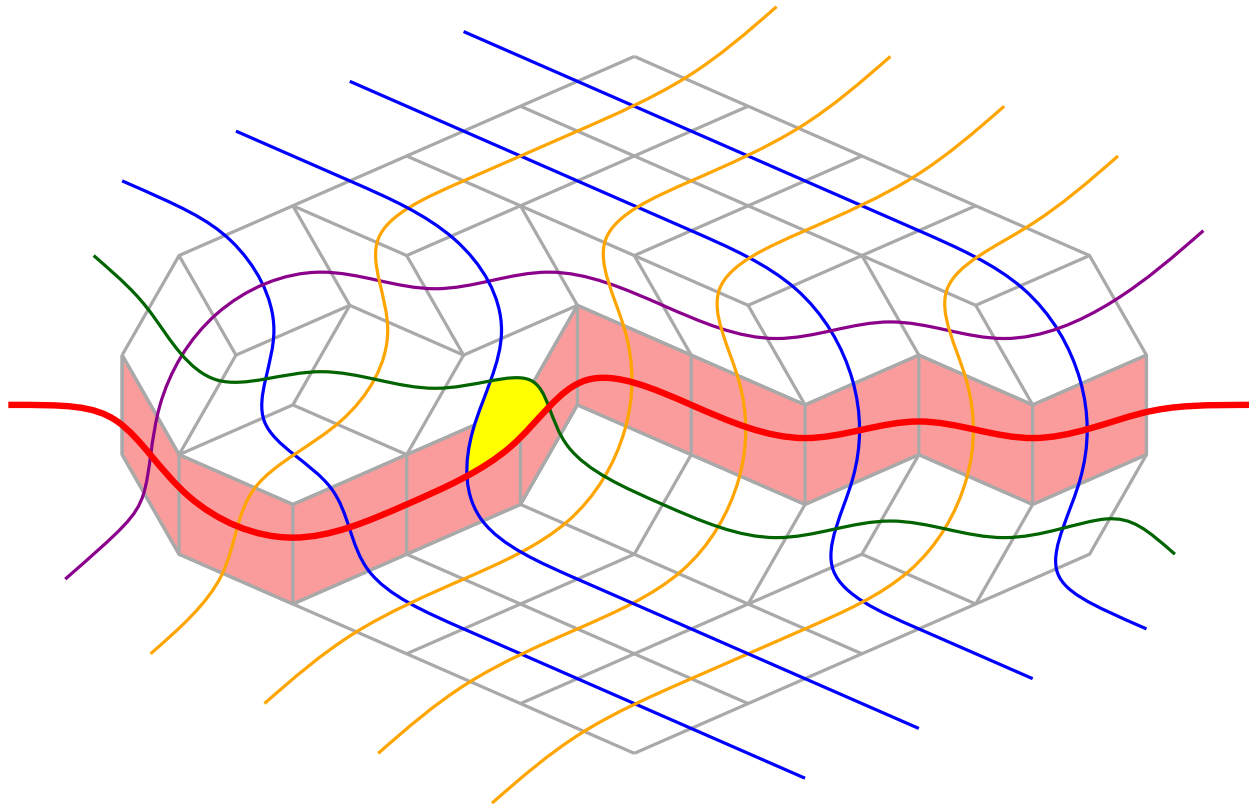
# Flip an einzelner Pseudogerade



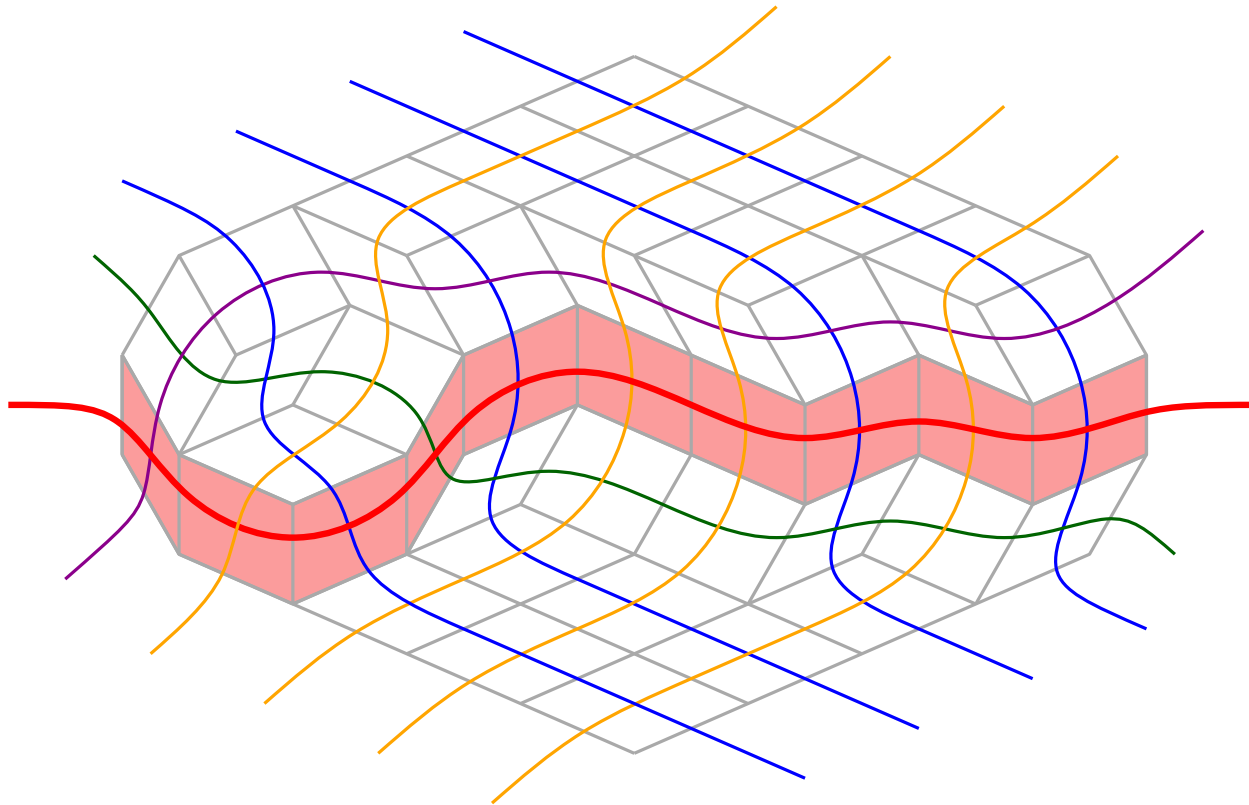
# Flip an einzelner Pseudogerade



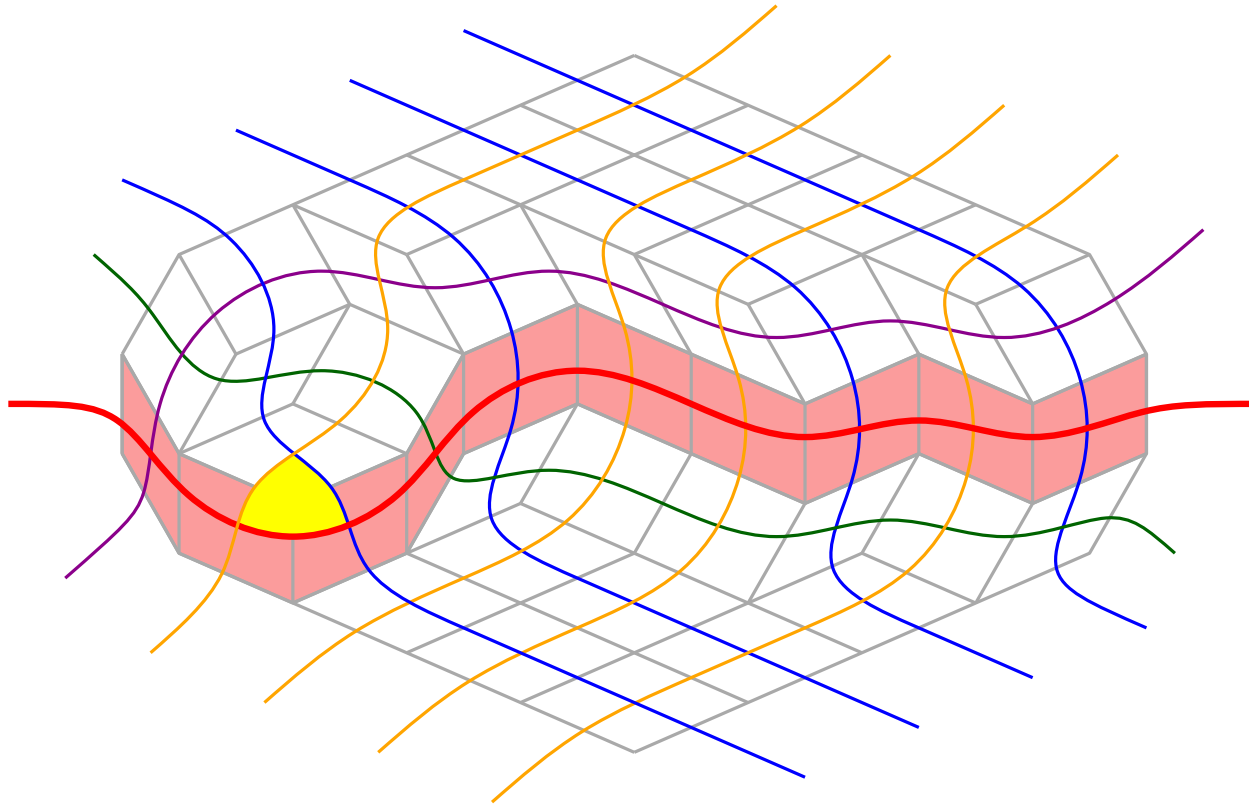
# Flip an einzelner Pseudogerade



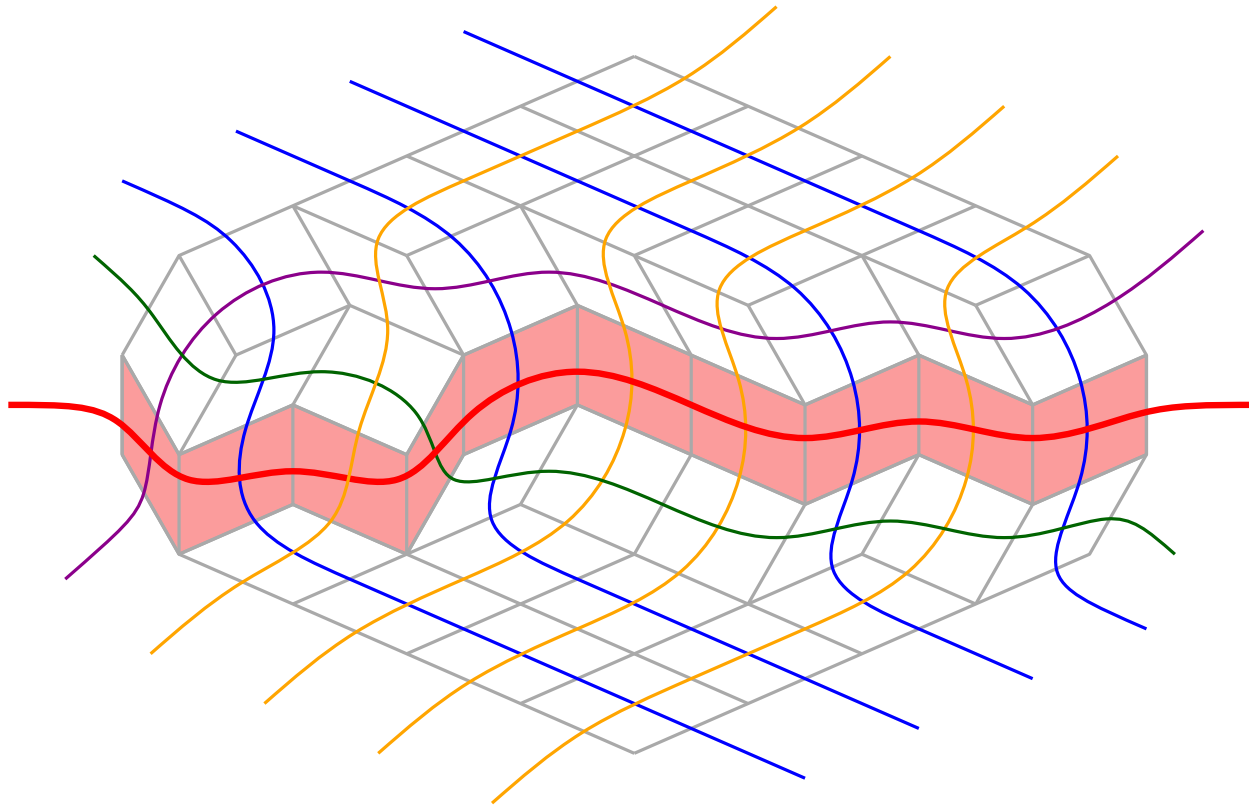
# Flip an einzelner Pseudogerade



# Flip an einzelner Pseudogerade

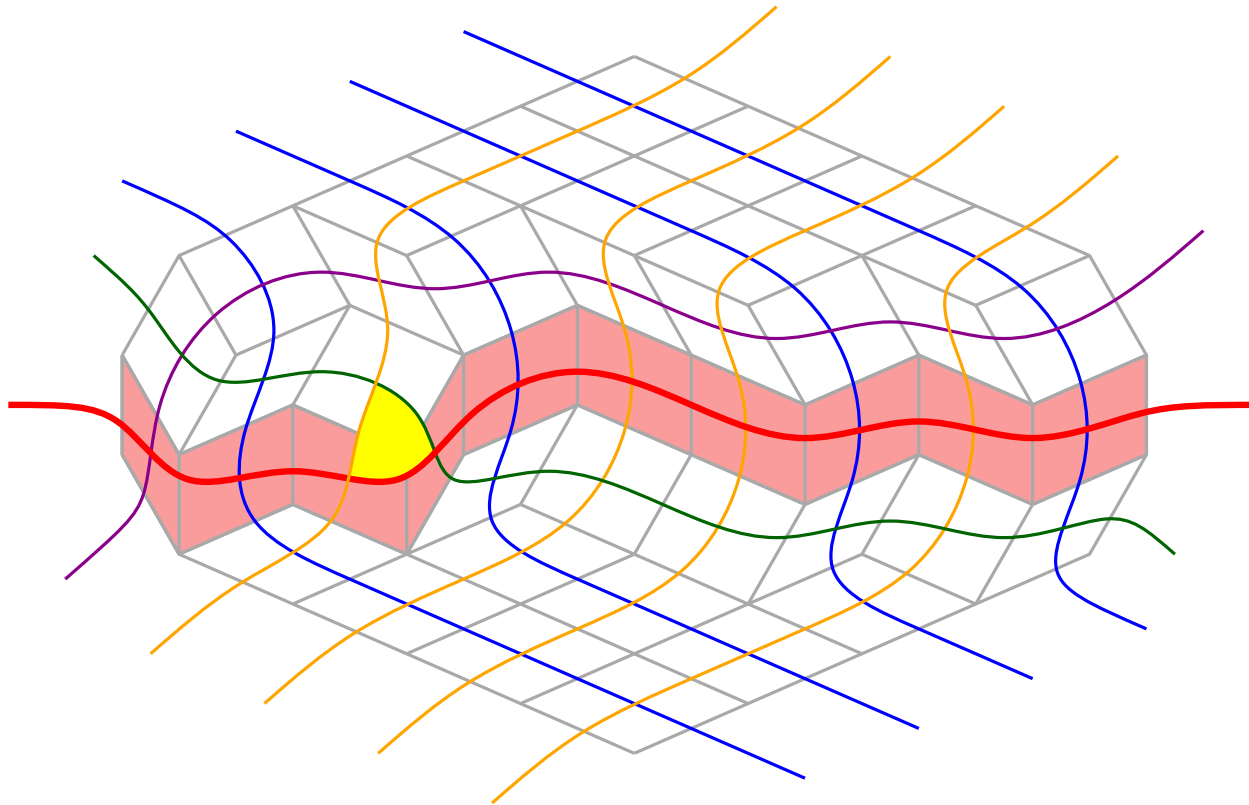


# Flip an einzelner Pseudogerade

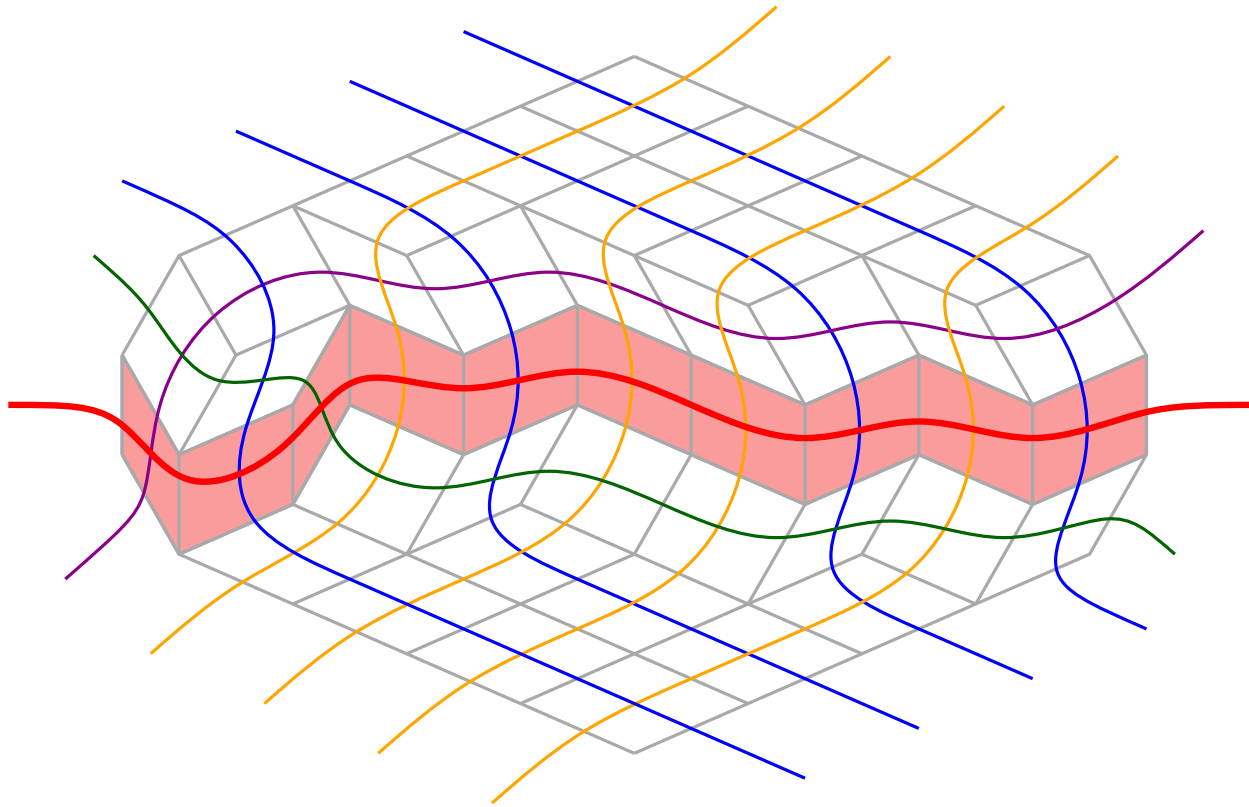




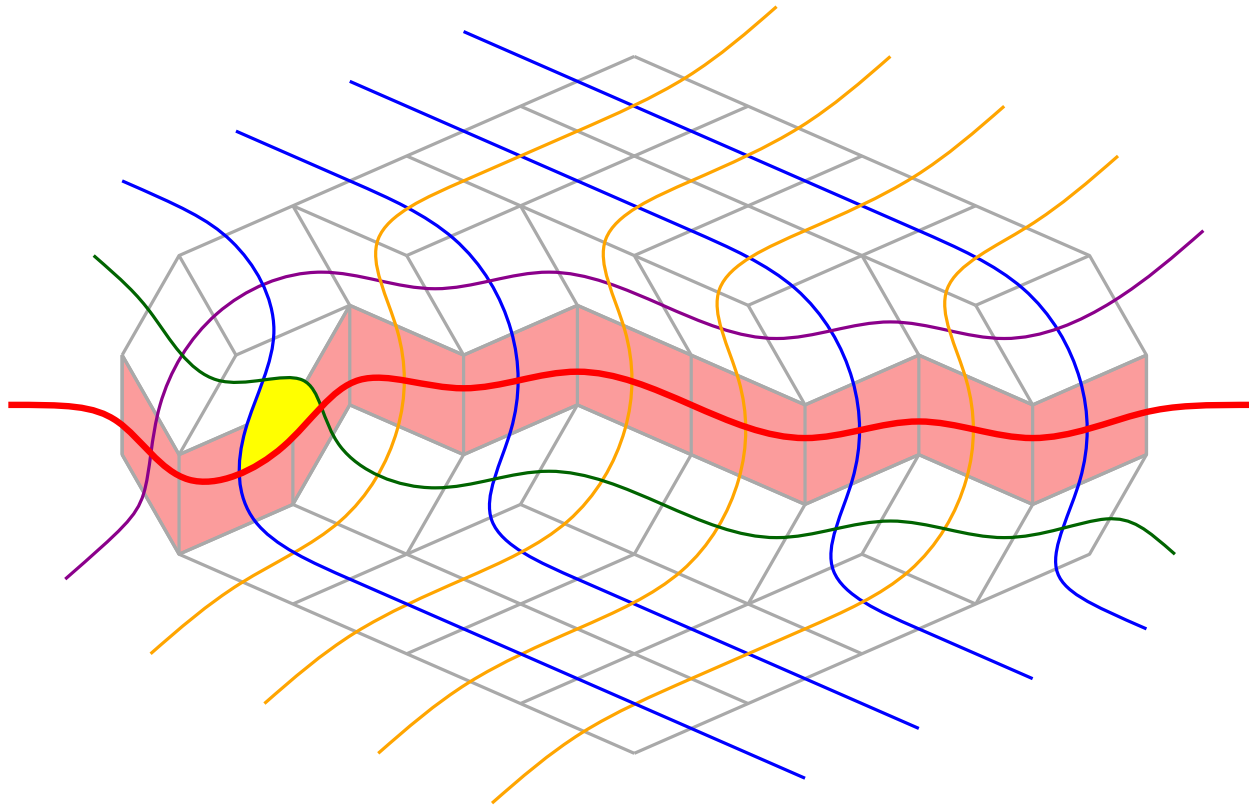
# Flip an einzelner Pseudogerade



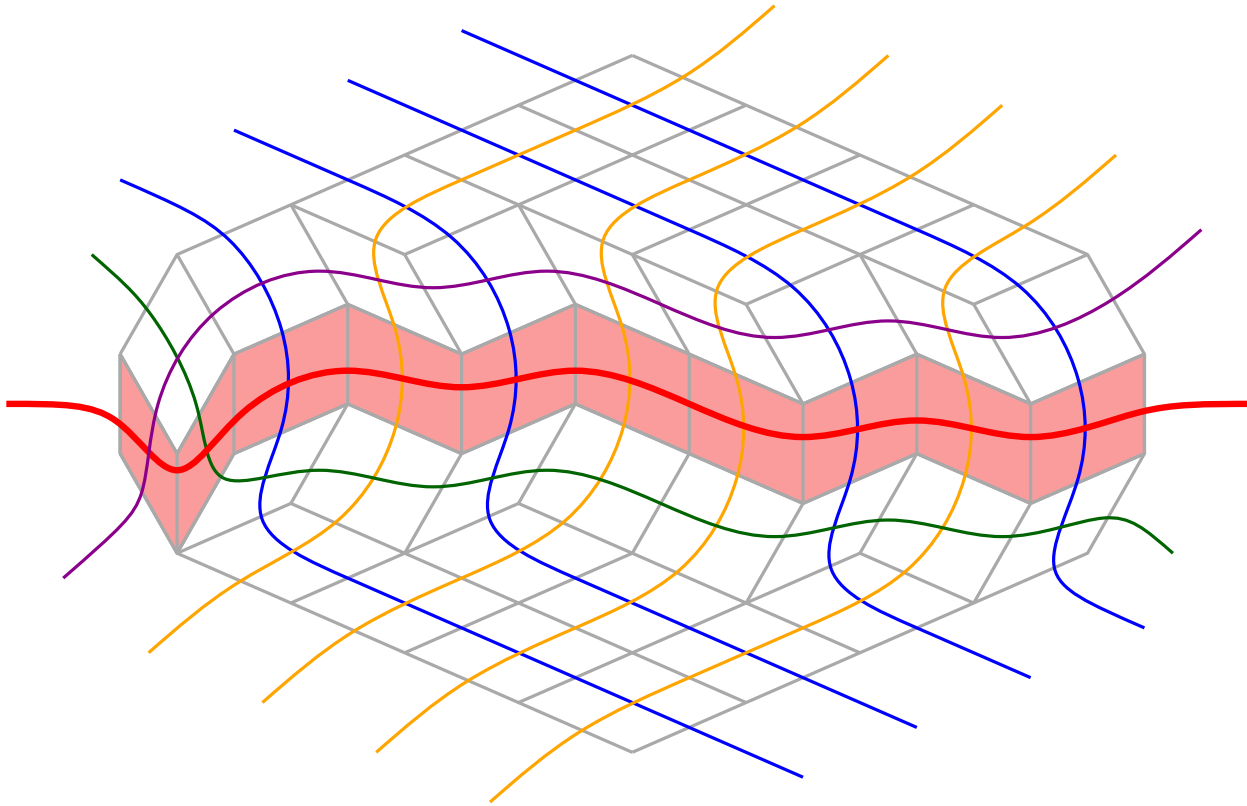
# Flip an einzelner Pseudogerade



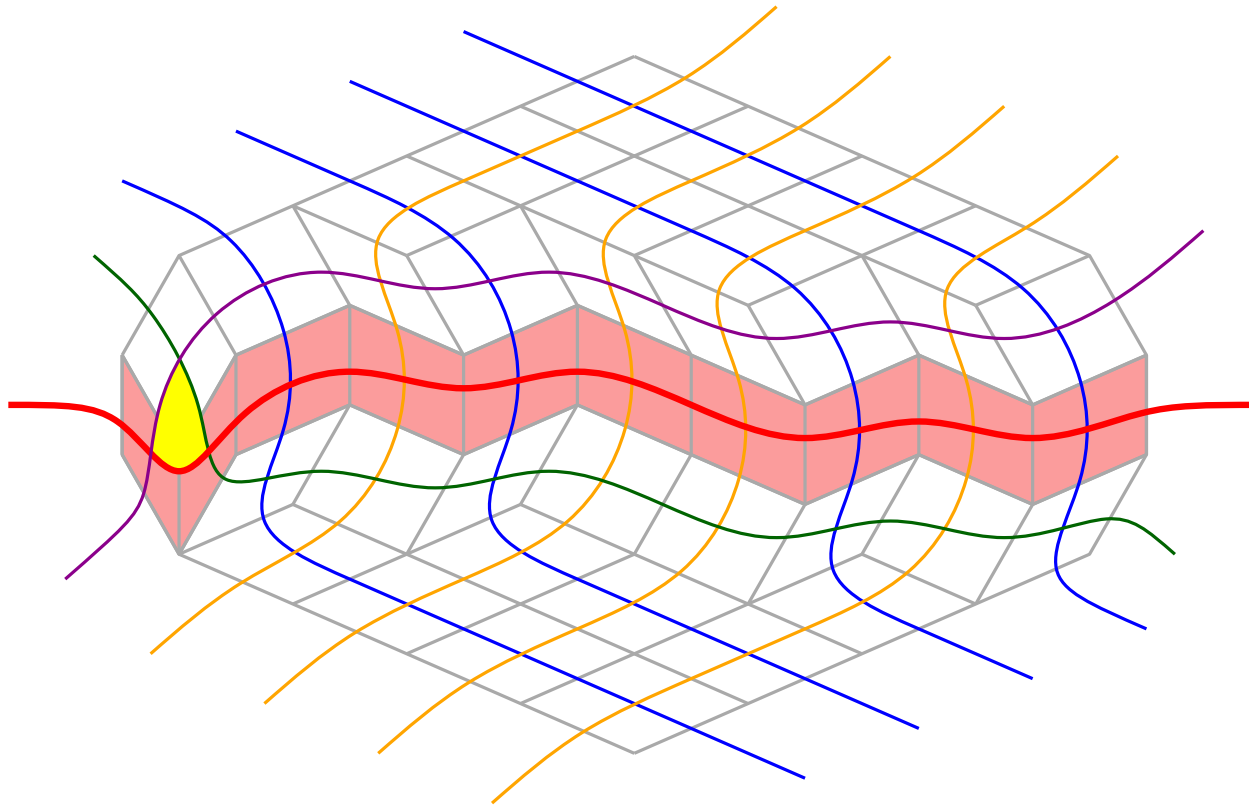
# Flip an einzelner Pseudogerade



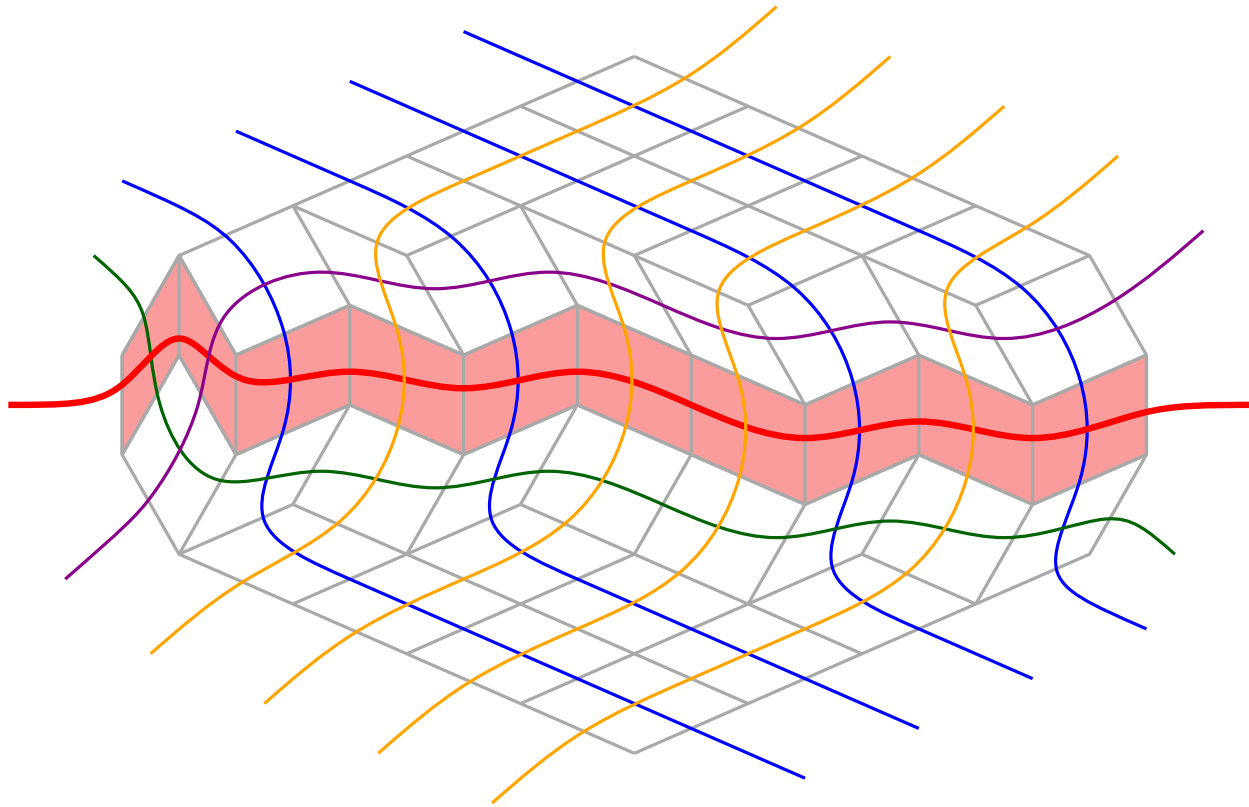
# Flip an einzelner Pseudogerade



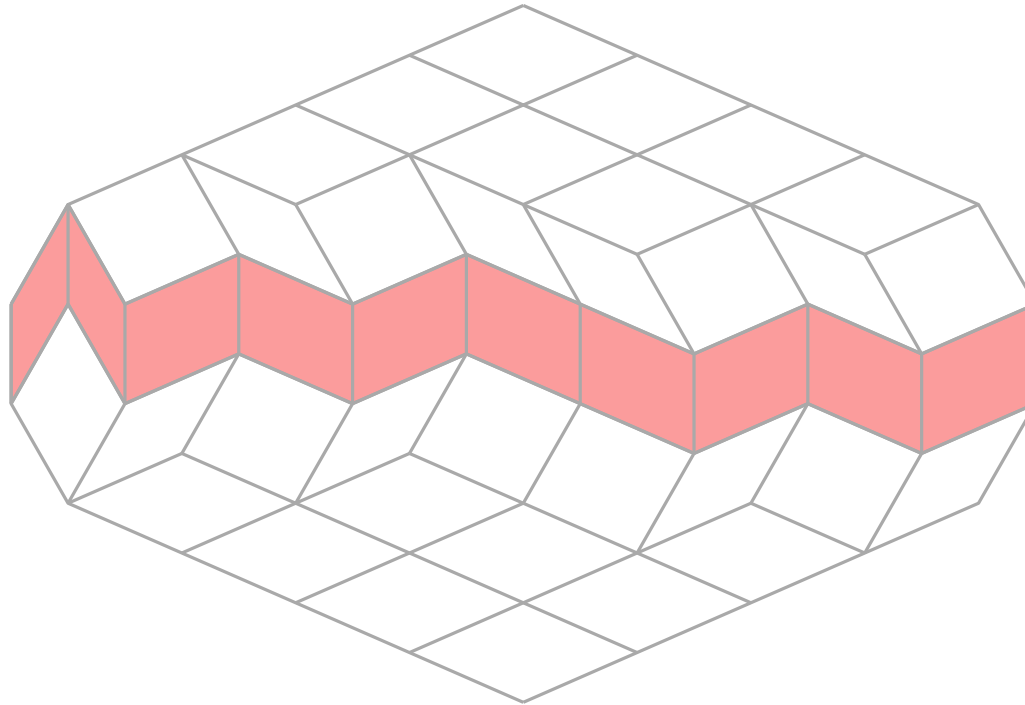
# Flip an einzelner Pseudogerade



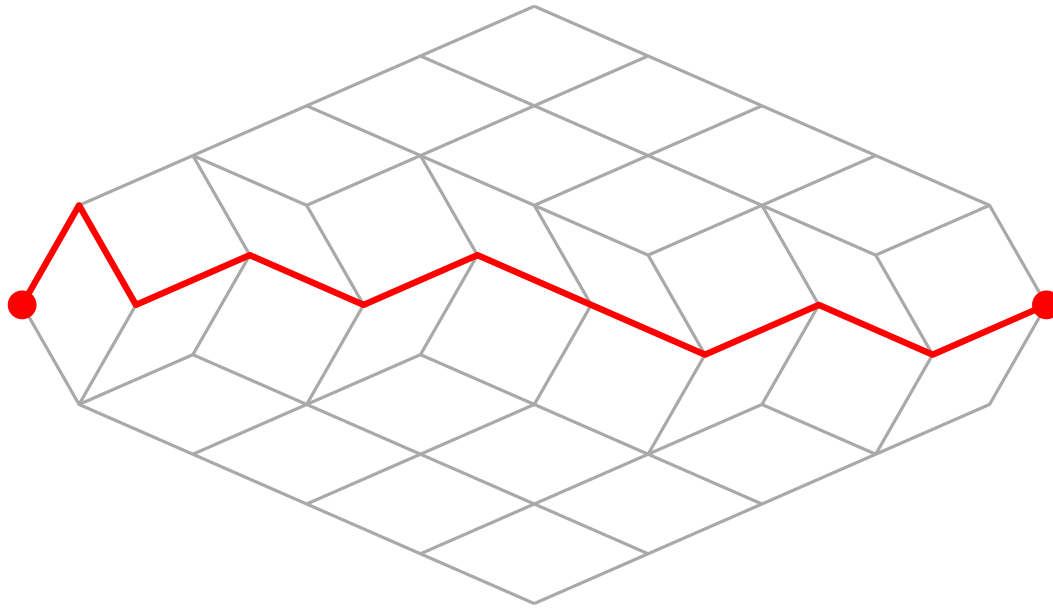
# Flip an einzelner Pseudogerade



# Flip an einzelner Pseudogerade

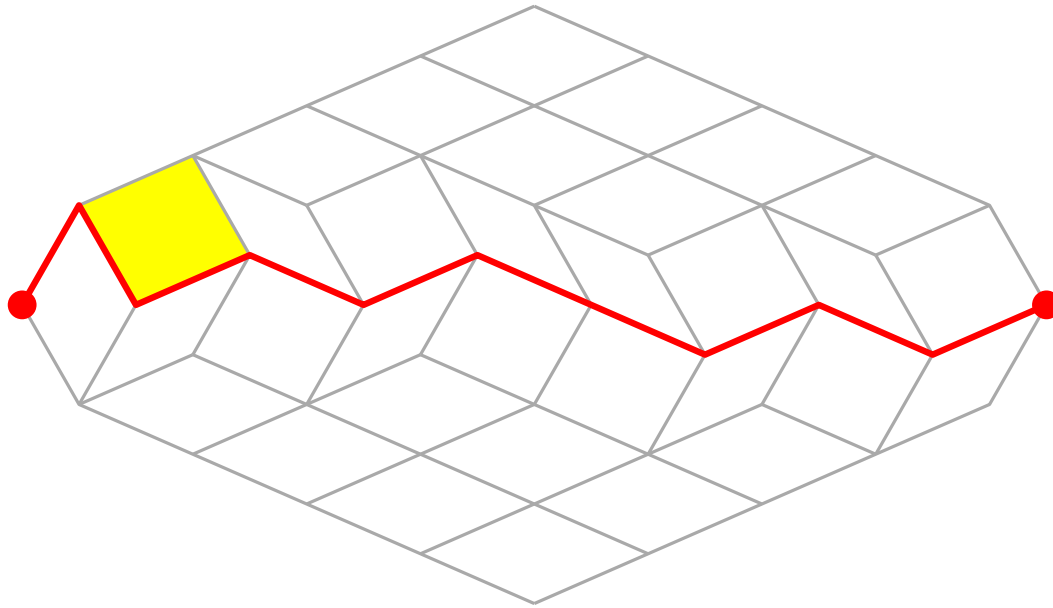


# Flip an einzelner Pseudogerade

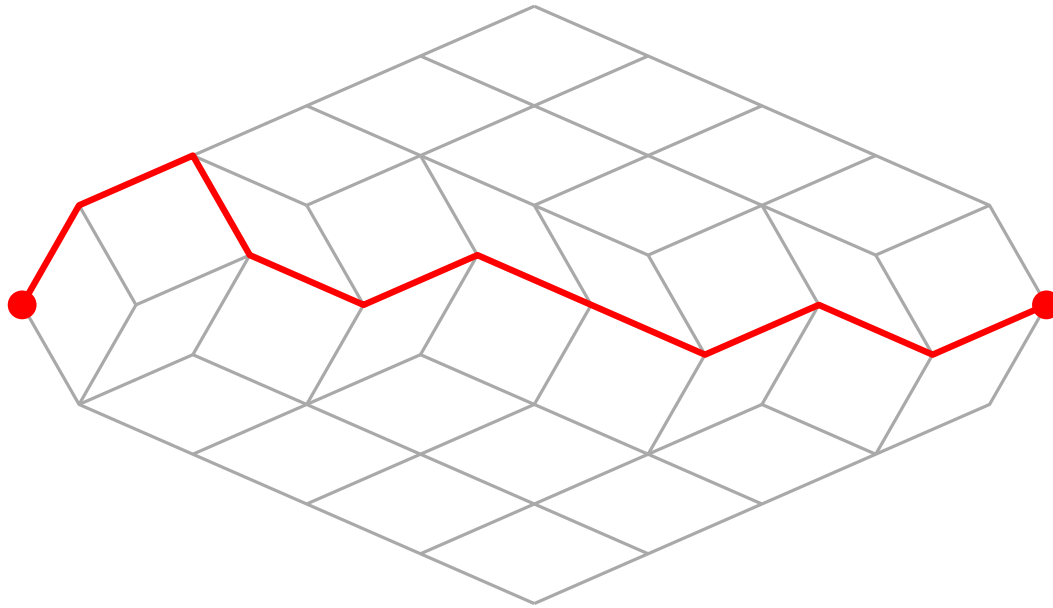




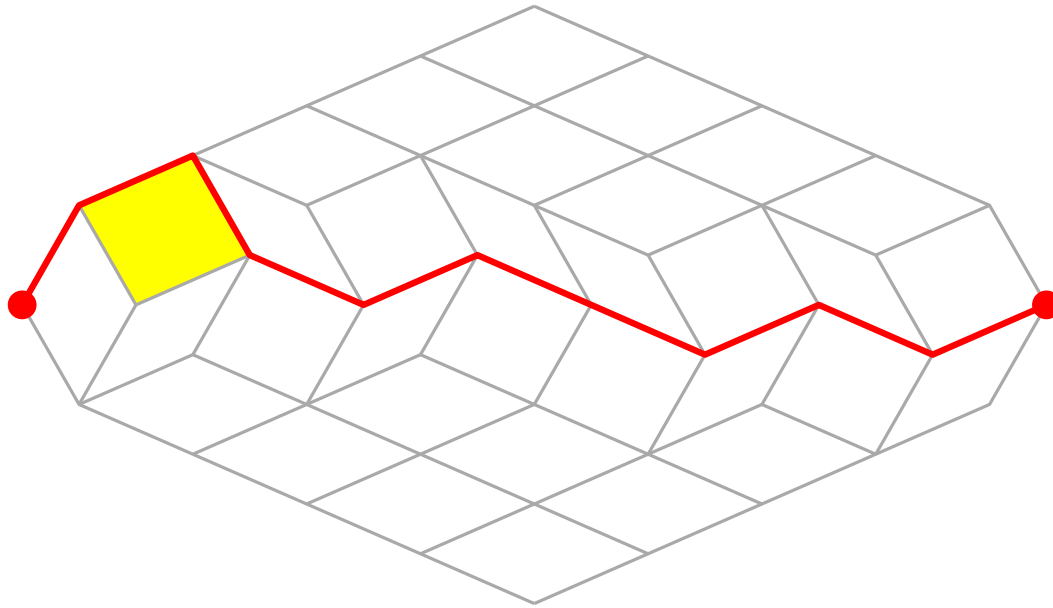
# Flip an einzelner Pseudogerade



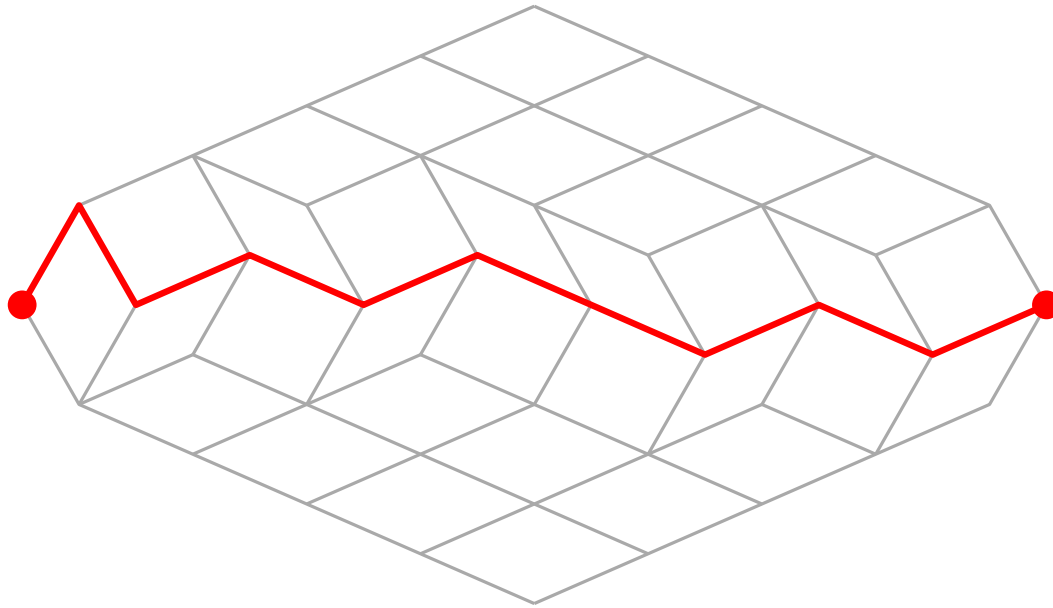
# Flip an einzelner Pseudogerade



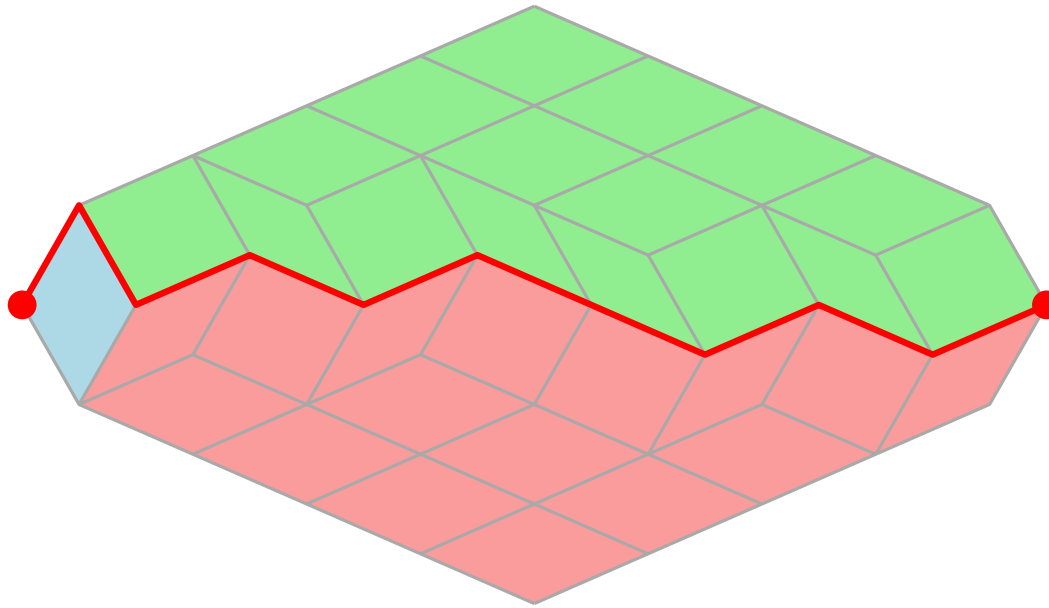
# Flip an einzelner Pseudogerade



# Flip an einzelner Pseudogerade



# Flip an einzelner Pseudogerade

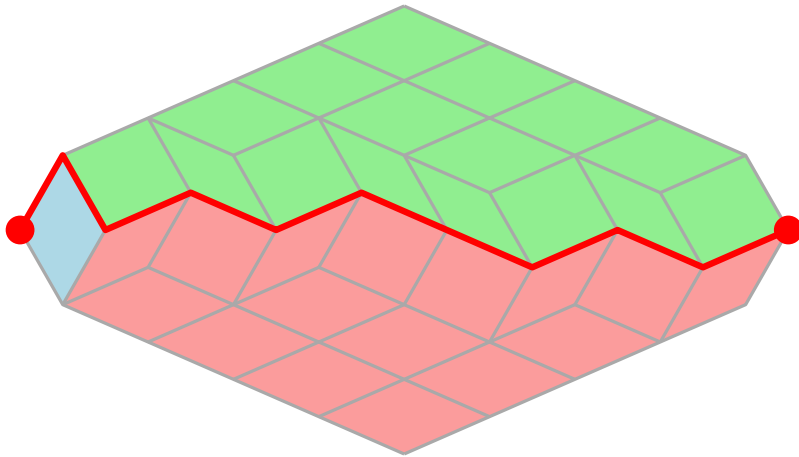


- Partition der Zustände in zwei Klassen:
  - Pfade **über blauem Rhombus**
  - Pfade **unter blauem Rhombus**

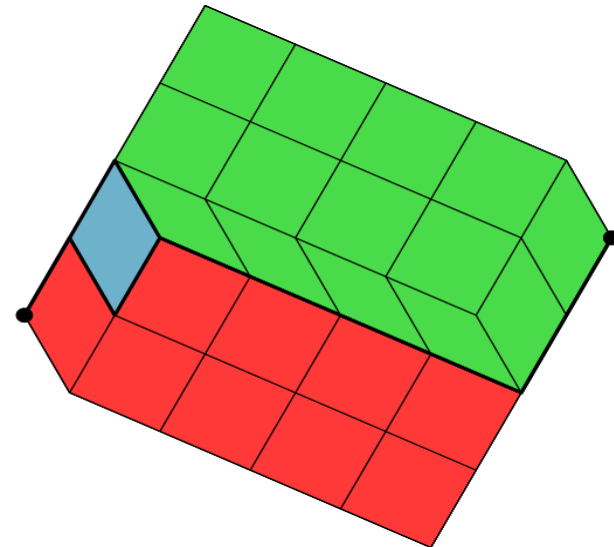


# Flip an einzelner Pseudogerade

$r = 5$  Parallelklassen:  
(verallgemeinerbar)



$r = 4$  Parallelklassen:



- Partition der Zustände in zwei Klassen:
  - Pfade **über blauem Rhombus**
  - Pfade **unter blauem Rhombus**
- Nur Flip an blauem Rhombus verbindet Klassen!

# Flip an einzelner Pseudogerade

## **Theorem (R., 2021):**

Die Markov-Kette, die in einem Verallgemeinerten Pseudogeradenarrangement zufällig Dreiecke mit Beteiligung einer ausgezeichneten Parallelklasse flipt, ist

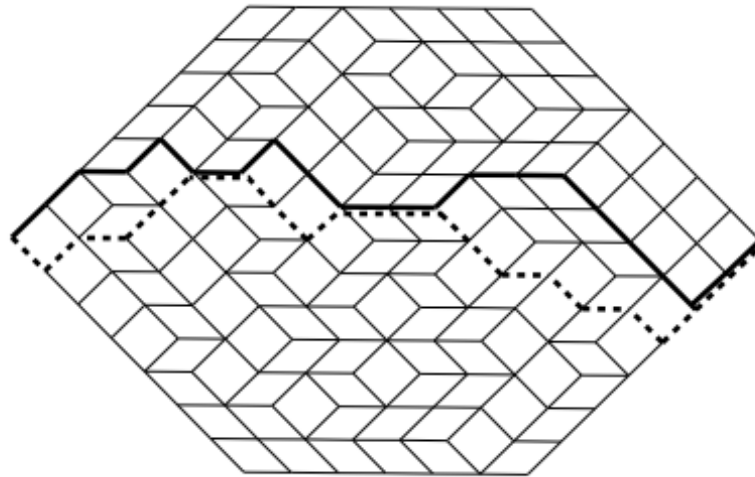
- ... **schnell mischend** bei 3 Parallelklassen, und...
- ... i.A. **nicht schnell mischend** bei 4 oder mehr Parallelklassen.

Aussage für 3 Klassen folgt aus  
(Luby, Randall & Sinclair, 1995)



# Flips an einzelner Pseudogerade

Destainville, 2001: *Mixing times of plane rhombus tilings*



*„Nevertheless, the above arguments do not exclude definitively the existence of rare slow fibers, [...]“*

**Wissen jetzt:** „slow fibers“ existieren tatsächlich!

# Plane partitions und Gitterpfade

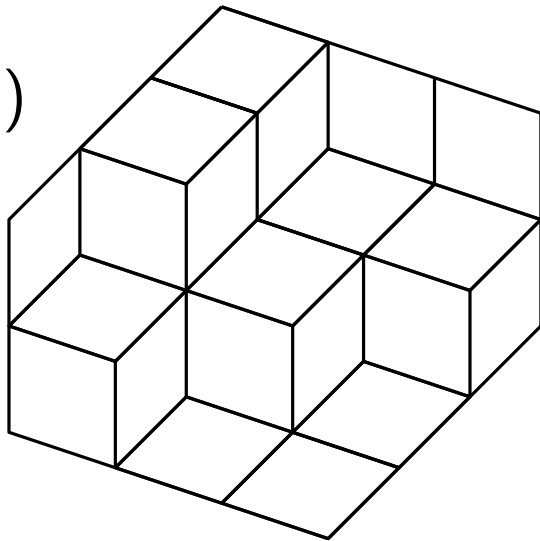
## Plane partitions und Gitterpfade

**Def:** Matrix  $[h_{i,j}] \in \mathbb{N}_0^{r \times s}$  heißt *plane partition*, falls Zeilen und Spalten monoton wachsend.

# Plane partitions und Gitterpfade

**Def:** Matrix  $[h_{i,j}] \in \mathbb{N}_0^{r \times s}$  heißt *plane partition*, falls Zeilen und Spalten monoton wachsend.

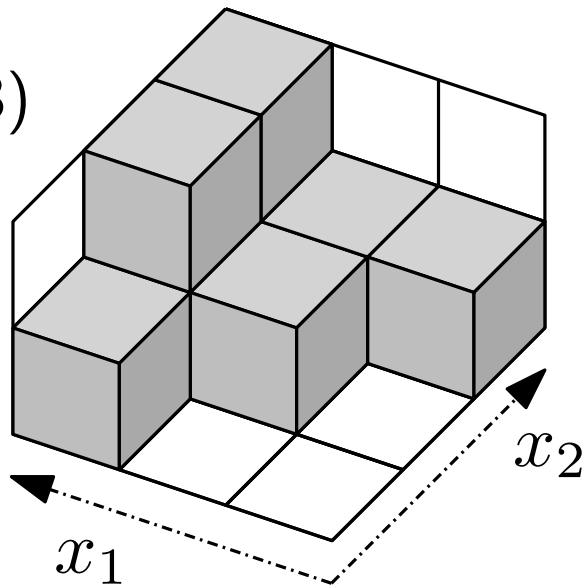
Rhombenpfl.  
Größe (3, 2, 3)



# Plane partitions und Gitterpfade

**Def:** Matrix  $[h_{i,j}] \in \mathbb{N}_0^{r \times s}$  heißt *plane partition*, falls Zeilen und Spalten monoton wachsend.

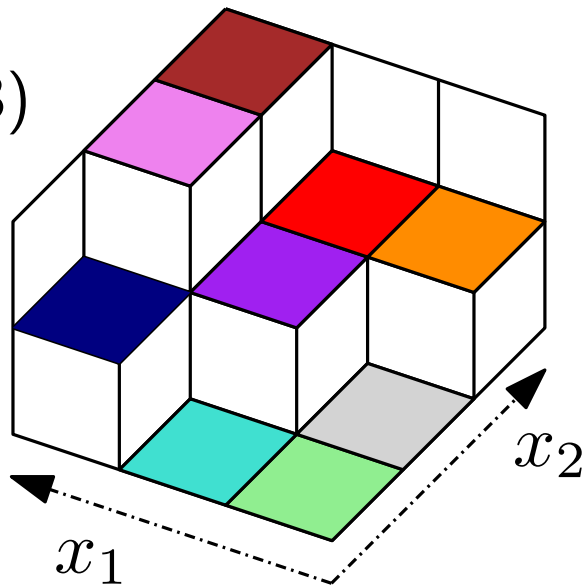
Rhombenpfl.  
Größe (3, 2, 3)



# Plane partitions und Gitterpfade

**Def:** Matrix  $[h_{i,j}] \in \mathbb{N}_0^{r \times s}$  heißt *plane partition*, falls Zeilen und Spalten monoton wachsend.

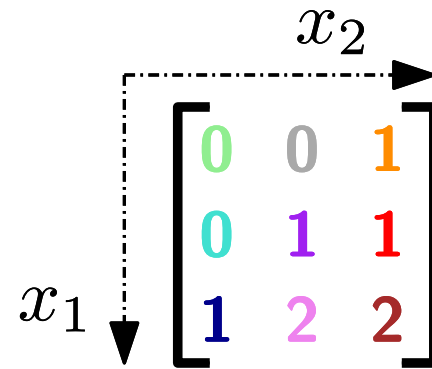
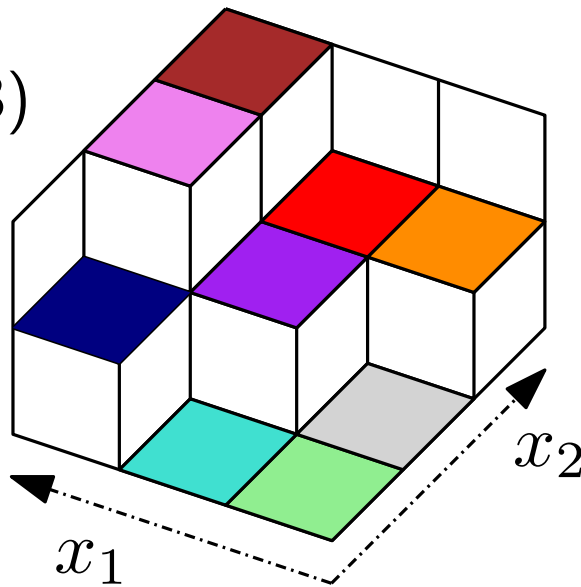
Rhombenpfl.  
Größe (3, 2, 3)



# Plane partitions and Gitterpfade

**Def:** Matrix  $[h_{i,j}] \in \mathbb{N}_0^{r \times s}$  heißt *plane partition*, falls Zeilen und Spalten monoton wachsend.

Rhombenpfl.  
Größe  $(3, 2, 3)$

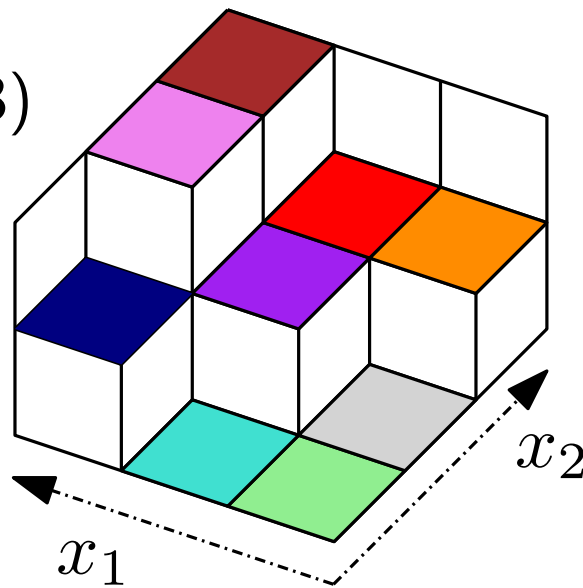


Plane partition  
mit Einträgen  
 $h_{i,j} \leq 2$

# Plane partitions and Gitterpfade

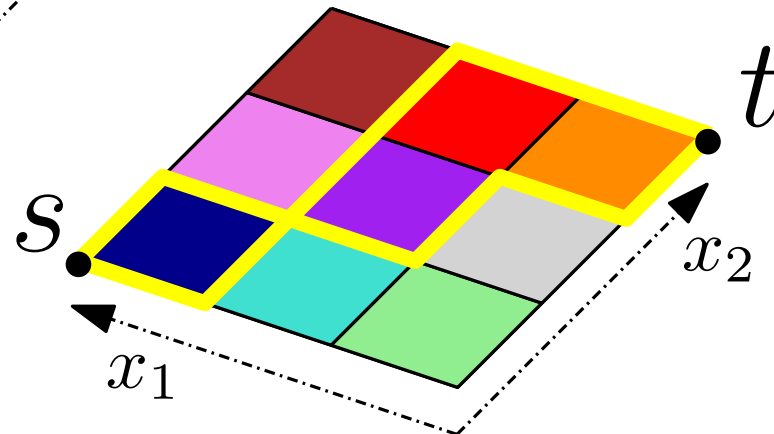
**Def:** Matrix  $[h_{i,j}] \in \mathbb{N}_0^{r \times s}$  heißt *plane partition*, falls Zeilen und Spalten monoton wachsend.

Rhombenpfl.  
Größe (3, 2, 3)



$$\begin{array}{c}
 x_2 \rightarrow \\
 \left[ \begin{array}{ccc}
 0 & 0 & 1 \\
 0 & 1 & 1 \\
 1 & 2 & 2
 \end{array} \right] \\
 x_1 \downarrow
 \end{array}$$

Plane partition  
mit Einträgen  
 $h_{i,j} \leq 2$



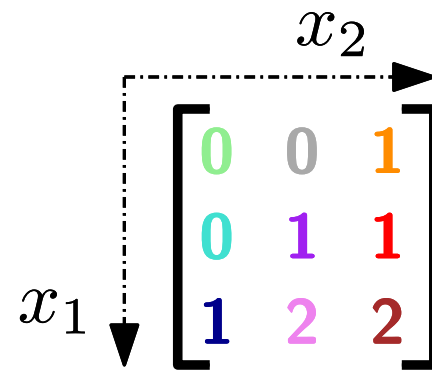
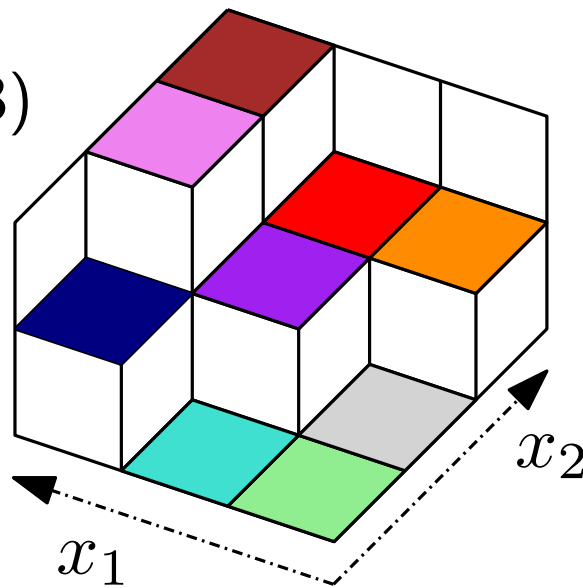
Monotone, nicht  
schneidende  
Gitterpfade



# Plane partitions and Gitterpfade

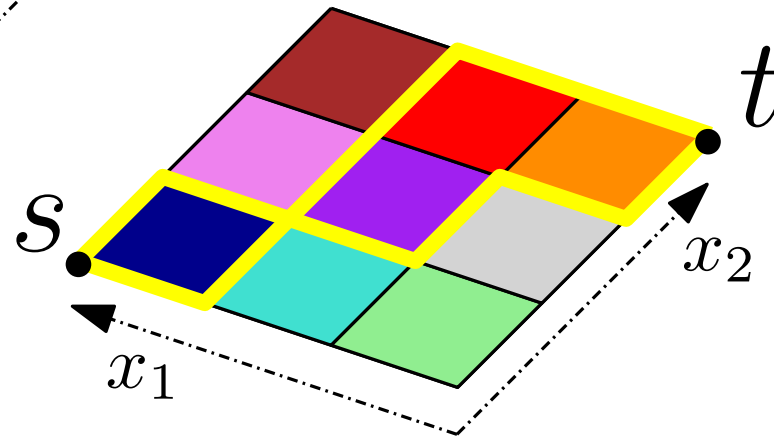
**Def:** Matrix  $[h_{i,j}] \in \mathbb{N}_0^{r \times s}$  heißt *plane partition*, falls Zeilen und Spalten monoton wachsend.

Rhombenpfl.  
Größe (3, 2, 3)



Plane partition  
mit Einträgen  
 $h_{i,j} \leq 2$

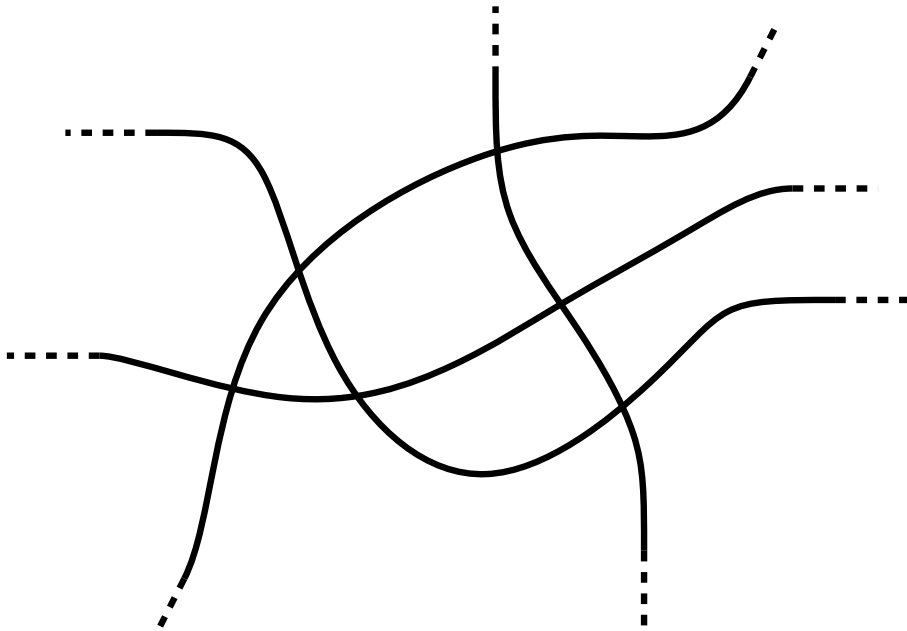
$$\begin{array}{l} \min \sum f_{i,j}(A_{i,j}) \\ \text{s.t. } A \text{ p.p.}, A_{i,j} \leq h \end{array}$$



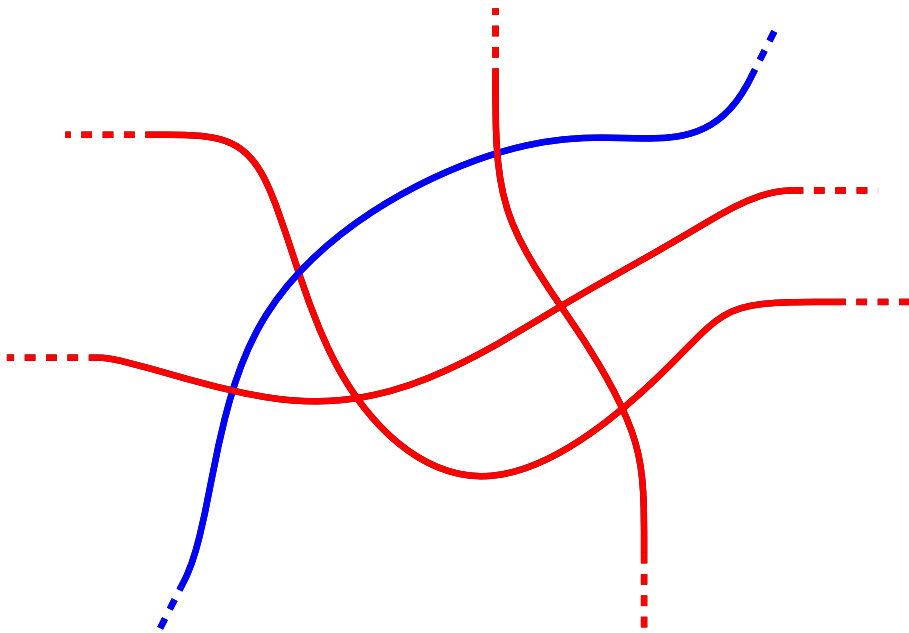
Monotone, nicht  
schneidende  
Gitterpfade

# Bichromatic triangle conjecture

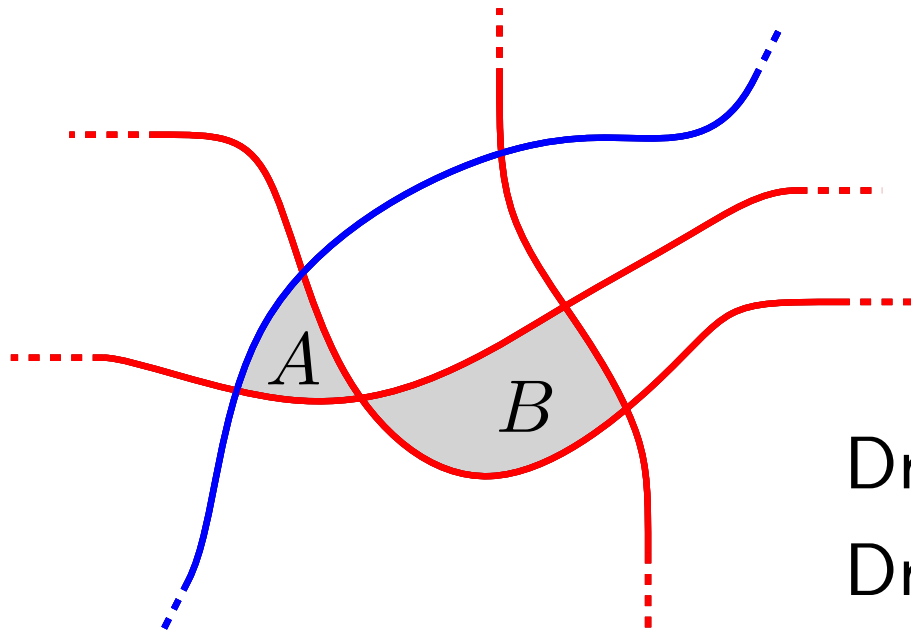
# Bichromatic triangle conjecture



# Bichromatic triangle conjecture



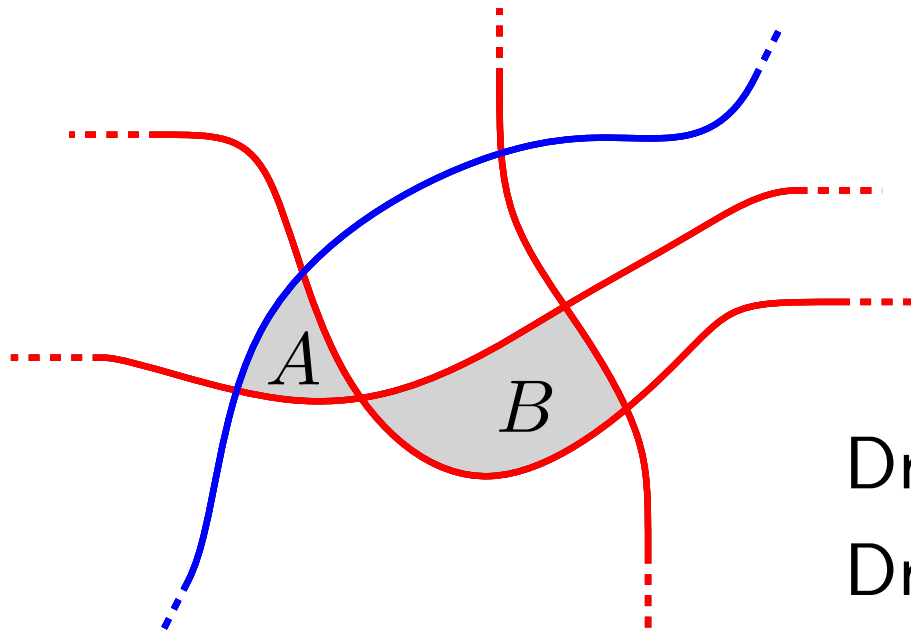
# Bichromatic triangle conjecture



Dreieck  $A$  bichromatisch

Dreieck  $B$  monochromatisch

# Bichromatic triangle conjecture



Dreieck  $A$  bichromatisch

Dreieck  $B$  monochromatisch

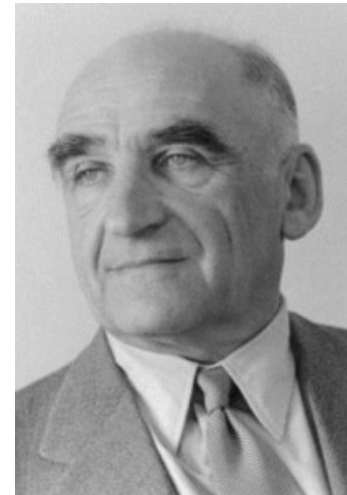
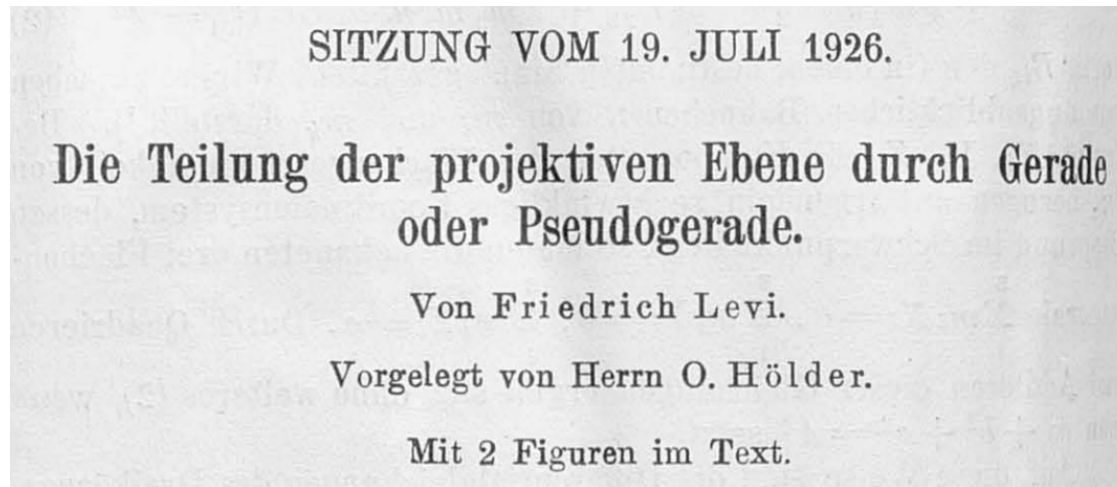
## **Vermutung:**

(Björner, Las Vergnas, Sturmfels, White, Ziegler, 1999)

Jedes echt zweigefärbte Arrangement von mindestens drei Pseudogeraden enthält ein bichromatisches Dreieck.

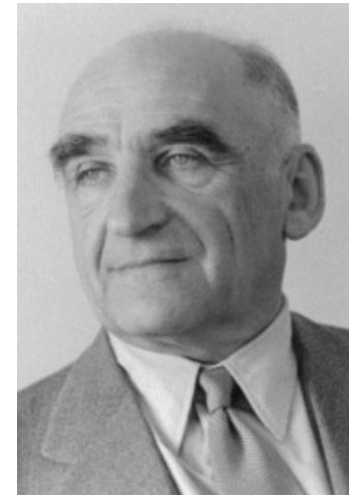
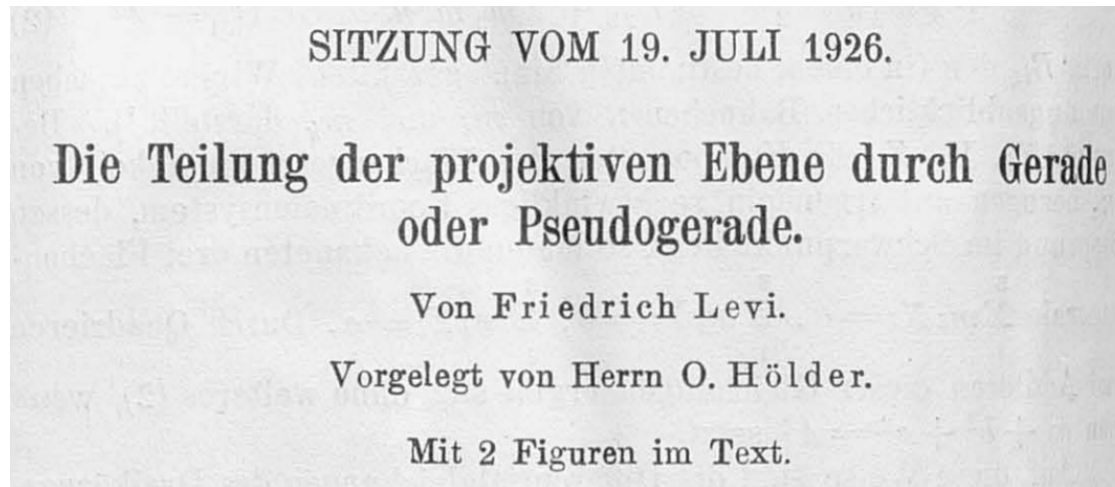
# Pseudogeradenarrangements

## Friedrich Wilhelm Levi



# Pseudogeradenarrangements

## Friedrich Wilhelm Levi

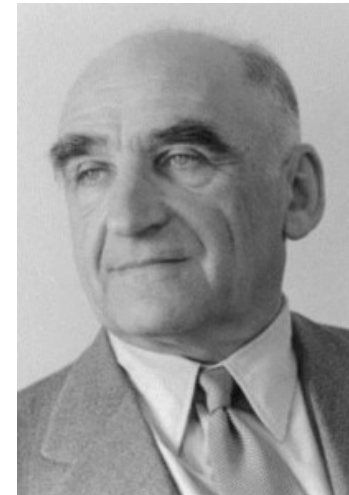
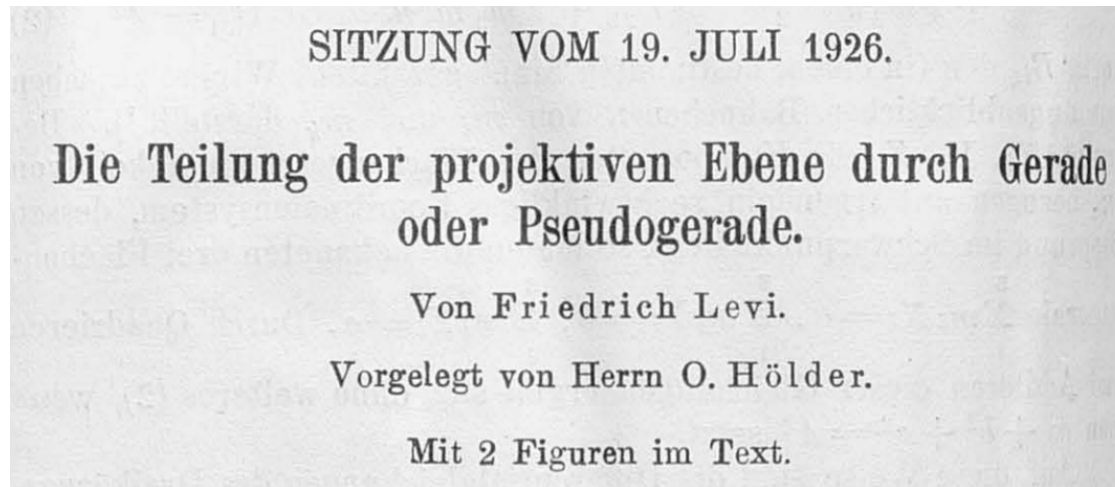


1919. Levi, F., Prof. a. d. U. Leipzig, Oetzsch bei Leipzig, Waldstr. 7.  
Friedrich L., geb. 6. 2. 1888 Mühlhausen i. E., 30. 10. 1911 prom. Straßburg, März 1919  
hab. Leipzig, seit 1. 11. 1923 nicht planmäßiger a.o. Prof. Leipzig.



# Pseudogeradenarrangements

## Friedrich Wilhelm Levi



1919. Levi, F., Prof. a. d. U. Leipzig, Oetzsch bei Leipzig, Waldstr. 7.

Friedrich L., geb. 6. 2. 1888 Mühlhausen i. E., 30. 10. 1911 prom. Straßburg, März 1919  
hab. Leipzig, seit 1. 11. 1923 nicht planmäßiger a.o. Prof. Leipzig.

- Bis 1935 Prof. an Uni. Leipzig
- Flucht vor Nazis, ab 1936 Prof. an Uni. Kalkutta
- 1950 Rückkehr, ab 1952 Prof. FU Berlin

Fragen?

